

## 9. 컴퓨터 비전

1. 컴퓨터 비전의 문제
2. 영상의 표현
3. 영상처리
4. 특징추출
5. 컴퓨터 비전의 대상
6. 객체 위치 검출 및 개체 인식
7. 의미적 영역 분할
8. 딥러닝 응용

# 1. 컴퓨터 비전

## ❖ 컴퓨터 비전(computer vision)

- 2차원 영상으로부터 3차원 장면을 재구성하여, 해석하고, 이해하는 것을 연구하는 분야
- 궁극적인 목적
  - 컴퓨터 소프트웨어와 하드웨어를 사용하여 인간의 시각을 모델링하여 복제해 내는 것
- 인간 시각에 비하면 아직 전체적으로 초보적인 수준
  - 얼굴인식, 물체 감지 등의 특정 문제에서는 인간 이상의 성능 달성

# 컴퓨터 비전

## ❖ 컴퓨터 비전의 본질적 어려움

- **역문제**(inverse problem)
  - 2차원 영상에서 3차원 정보 재구성 필요

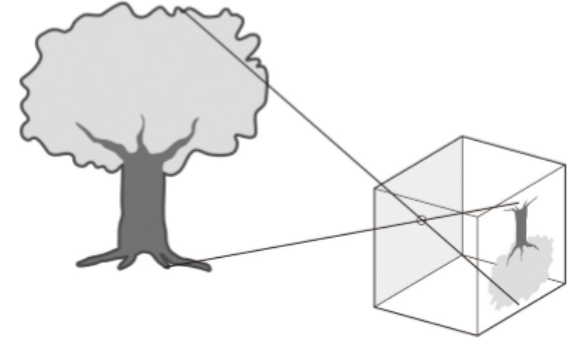


그림 9.1 핀홀(pinhole) 카메라를 통한 영상 획득

- **불량 문제**(ill-posed problem)
  - 대부분의 컴퓨터 비전 문제는 답이 유일하지 않음

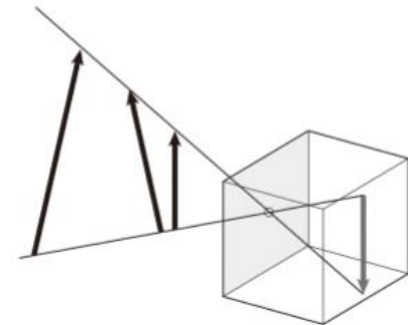


그림 9.2 다대일 투영관계로 인한 컴퓨터 비전의 불량 문제

- 영상 생성과정에 **기하학적 변환**(회전, 크기 변경, 투영 등), **광도 변환**(조명, 그림자 등), **광학적 잡음** 발생

# 컴퓨터 비전

## ❖ 컴퓨터 비전 적용 사례

- 손글씨로 쓴 우편번호 인식 및 자동차 번호판 인식
- 품질 보증을 위한 기계 검사
- 사진을 보고 3차원 모델을 만드는 기술
- 항공 사진을 이용한 3차원 모델의 자동 생성
- 의료 영상 판독
- 보행자 보호 및 안전 운전을 위한 자동차 안전 보조 장치
- 모션 캡처
- 경계 및 감시
- 지문 등 생체 신호분석
- 여러 사진을 자연스럽게 이어 붙이는 파노라마 사진 제작
- 여러 영상을 합성하는 방법
- 3차원 모델링
- 형태를 점진적으로 바뀌가는 모핑(morphing)
- 얼굴 인식
- 시각적 인증
- ...

# 1.1 컴퓨터 비전의 관련 분야

## ❖ 컴퓨터 비전 관련 분야

- 영상처리, 패턴인식, 기계학습, 컴퓨터 그래픽스 등

## ❖ 영상처리(image processing)

- 입력 받은 영상을 사용 목적에 맞게 적절하게 처리하여 보다 개선된 영상을 생성하는 것
- 입력 영상에 있는 잡음(noise) 제거, 영상의 대비(contrast) 개선, 관심영역(region of interest) 강조, 영역 분할(segmentation), 압축 및 저장 등
- 영상처리와 컴퓨터 비전은 많은 부분 중첩
- 영상처리는 주로 전처리 등 저수준 처리에 활용, 컴퓨터 비전은 고수준 처리

# 1.1 컴퓨터 비전의 관련 분야

## ❖ 패턴인식(pattern recognition)

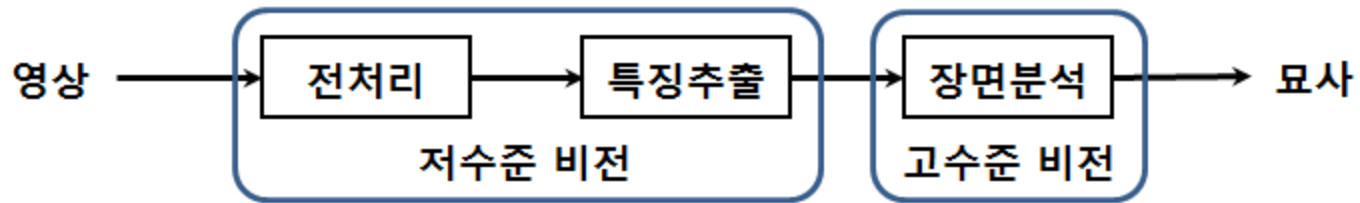
- 다양한 데이터에 대해서 **패턴**을 **추출**하고 이를 이용하여 입력 데이터를 **특정 부류(class)**로 **분류**하는 방법
- 영상,비즈니스 데이터, 음성 신호, 과학실험 데이터 등 다양한 데이터에 관심
- 다양한 **기계학습 기술** 활용
- 컴퓨터 비전에서 **개체 식별, 범주 인식** 등 인식에 관련된 부분에 사용

## ❖ 컴퓨터 그래픽스(computer graphics)

- 데이터 형태로 **3차원 모델**을 만들고 3차원 모델을 사용하여 **2차원 영상 생성**
- 영상으로부터 3차원 모델을 생성하고, 이를 바탕으로 컴퓨터 그래픽스 기술을 이용하여 원래 영상에 대응하는 영상을 만들어 **합성**하는 기술

# 1.2 컴퓨터 비전의 처리 단계

## ❖ 컴퓨터 비전의 처리 단계



### ▪ 전처리 단계

- 주로 영상처리 기술 사용
- 다양한 **특징 추출**
  - 에지(edge), 선분, 영역, SIFT(Scale-Invariant Feature Transform) 등

### ▪ 고수준 처리

- 특징정보를 사용하여 영상을 **해석, 분류, 상황묘사** 등 정보 생성



## 2. 영상 표현

### ❖ 화소(pixel, 畫素)

- 디지털 영상을 표현하는 2차원 배열에서 각 원소
- 해당 위치에서 빛의 세기에 대응하는 값
  - 0은 검은색을 나타내고, 화소값이 커질수록 밝은 색

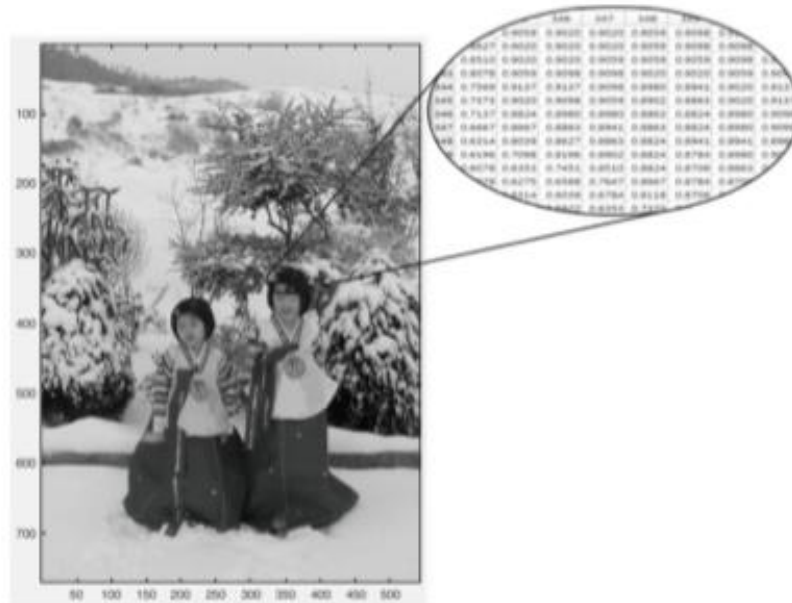


그림 9.4 디지털 영상의 표현

### ▪ 칼러 영상

- **R**(red), **G**(green), **B**(blue) 세 가지 색상에 대한 정보 화소 정보 표현
- 2차원 행렬 3개로 표현

# 영상 표현

## ❖ 영상의 좌표계

- 첨자(index)
  - 원점 (0,0) : 좌측상단 끝
  - $(j, i)$  : 행번호는  $y$ 축 첨자, 열번호는  $x$ 축의 첨자 사용
  - 첨자는 대개 0부터 시작
- 영상의 해상도(resolution)
  - 행렬의 크기

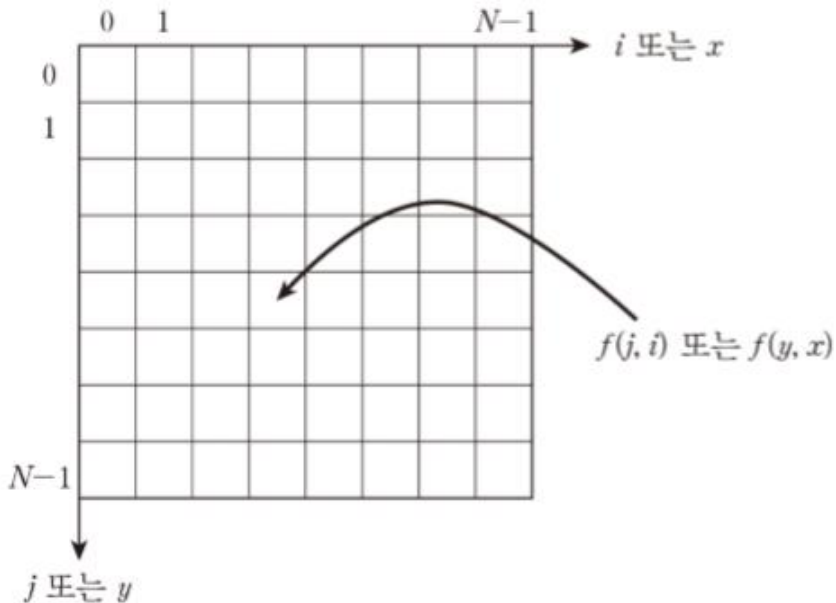


그림 9.5 영상의 좌표계

# 영상 표현

- ❖ **이진영상(binary image)**
  - 화소값이 0 또는 1
- ❖ **그레이 영상(grey image, 명암영상)**
  - 일정 범위의 화소값
- ❖ **칼러 영상(color image)**
  - 각 칼러 채널별로 그레이 영상과 같이 일정범위의 값
- ❖ **압축 저장**
  - 데이터량이 크기 때문에 일반적으로 압축해서 저장
  - 압축을 해제한 상태에서 화소의 값을 접근하여 영상처리 작업
  - 다양한 표준
    - jpeg, mpeg 등

# 3. 영상 처리

## ❖ 영상처리(image processing)

- 영상을 입력으로 받아 영상의 화소값을 변환하는 작업을 수행하여 새로운 영상 출력

## ❖ 점 연산(point operation)

- 현재 화소값을 기준으로 출력 영상에 해당 위치의 화소값 결정
- 이진화, 히스토그램 평활화, 여러 영상의 평균, 영상 간의 차연산, 디졸브 연산 등

## ❖ 영역 연산(area operation)

- 주변 화소의 값을 참고하여 화소의 값 변경
- 컨볼루션(convolution, 회선)을 이용한 연산

## ❖ 기하 연산(geometric operation)

- 기하학적 규칙에 따라 멀리 떨어진 화소의 값을 참고하여 값 변경
- 영상의 회전, 이동, 확대 등 어파인 변환(affine transformation)

# 3.1 이진화

## ❖ 이진화(binartization)

- 그레이 영상을 이진 영상으로 바꾸는 것

$$f_o(j,i) = \begin{cases} 1 & \text{if } f(j,i) \geq \theta \\ 0 & \text{if } f(j,i) < \theta \end{cases}$$

$f_o(j,i)$  : 변환후의 화소값  
 $f(j,i)$  : 원본 영상의 화소값



(a)



(b)

그림 9.6 영상의 이진화

(a) 원본 그레이 영상 (b) 이진 영상

- 적합한 임계값을 정하는 것이 핵심

# 3.1 이진화

## ❖ 이진화(binrarization)

- **오츠키의 알고리즘**(Otsu's algorithm)
  - 임계값을 효과적으로 결정하는 방법
  - 임계값보다 큰 화소값들의 집단과 임계값보다 작은 화소값들의 집단에 대해서, 두 집단의 분산이 최소가 되도록 하는 임계값 탐색

## 3.2 히스토그램 평활화

### ❖ 히스토그램 평활화(histogram equalization)

- 영상의 히스토그램이 전체 영역에 균등하게 분포하도록 변환하여 영상의 대비가 커지도록 해 영상을 선명하게 하는 것



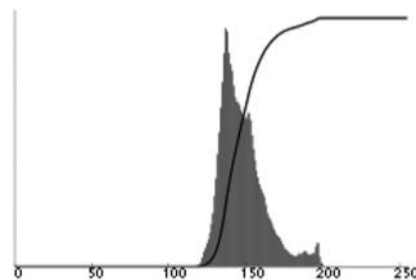
(a)



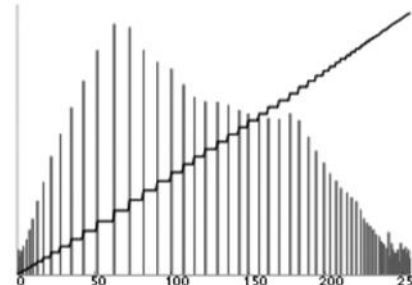
(b)

명암값  $i$ 까지 누적 빈도값

$$acc[i] = \sum_{j=0}^i hist[j] \quad i = 0, \dots, L-1$$



(c)



(d)

$$n[i] = acc[i] / (N \times (L-1))$$

그림 9.7 히스토그램 평활화

(a) 원본 영상 (b) 평활화 적용 결과 (c) 원본 영상의 히스토그램과 누적분포 곡선 (d) 평활화된 결과에 대한 히스토그램과 누적분포 곡선

## 3.3 장면 디졸브

### ❖ 장면 디졸브(scene dissolve)

- 두 개의 장면을 합성하는 연산

$$f_o(j,i) = \alpha f_1(j,i) + (1-\alpha)f_2(j,i)$$

- $\alpha$  : 앞 장면이 반영되는 비율인데, 1에서 시작하여 0으로 변화

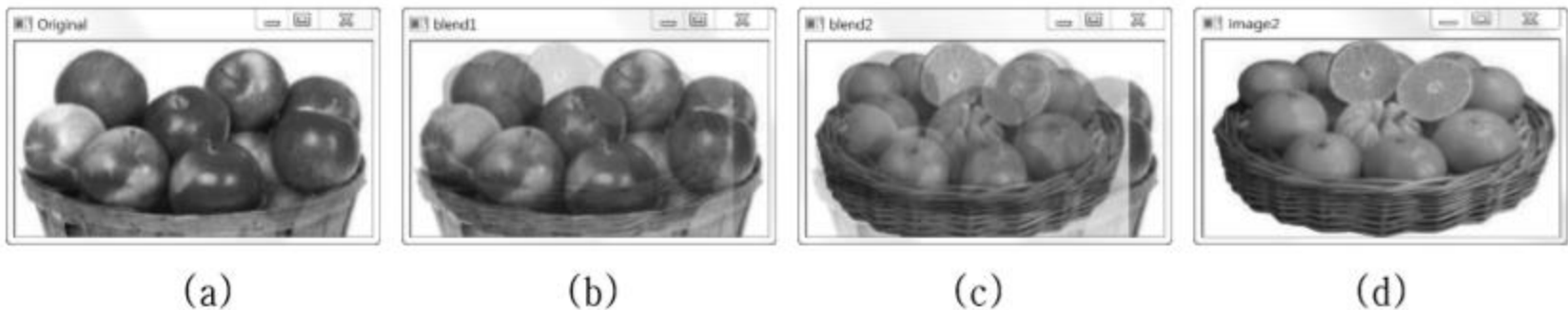


그림 9.8 장면 디졸브

(a)는 처음 장면이고 (d)는 마지막 장면이다. (b)와 (c)는 디졸브가 진행되어 가면서 (d)의 장면이 점차 나타나는 것을 보여준다.



# 3.4 컨볼루션 연산과 필터

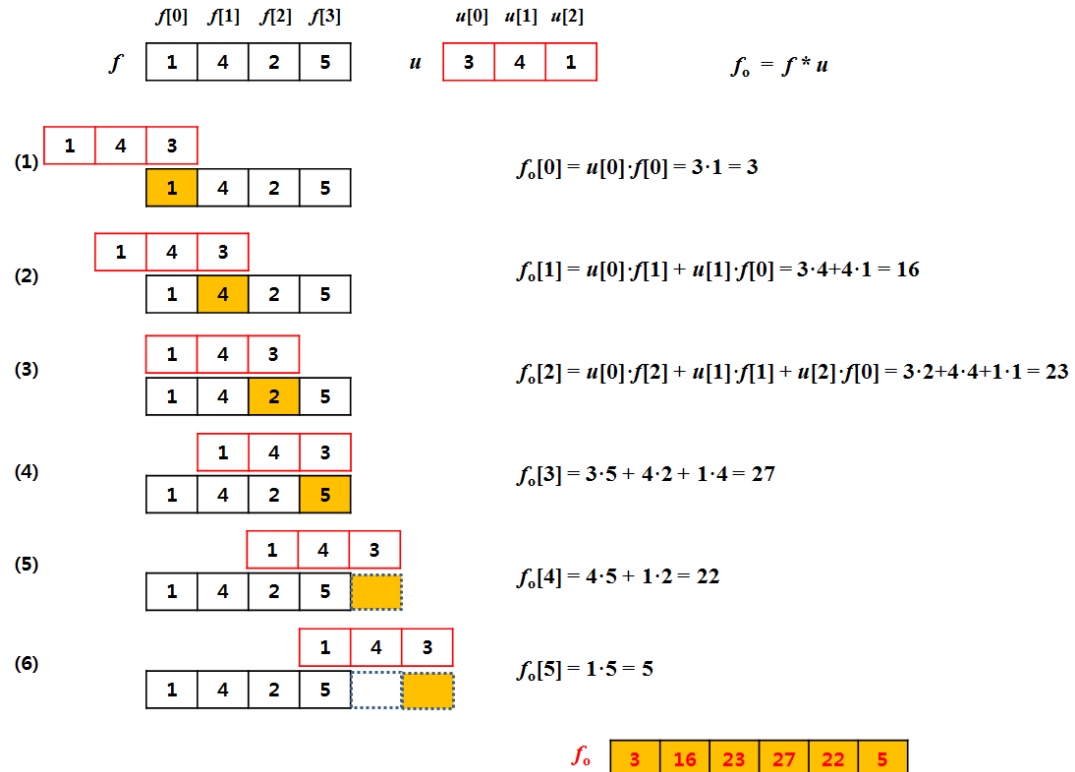
## ❖ 컨볼루션(convolution, 회선)

$$f_o[i] = u[0] \cdot f[i] + u[1] \cdot f[i-1] + \dots + u[k-1] \cdot f[i-k+1]$$

$$= \sum_{j=0}^{k-1} u[j] \cdot f[i-j]$$

$f_o = f * u$

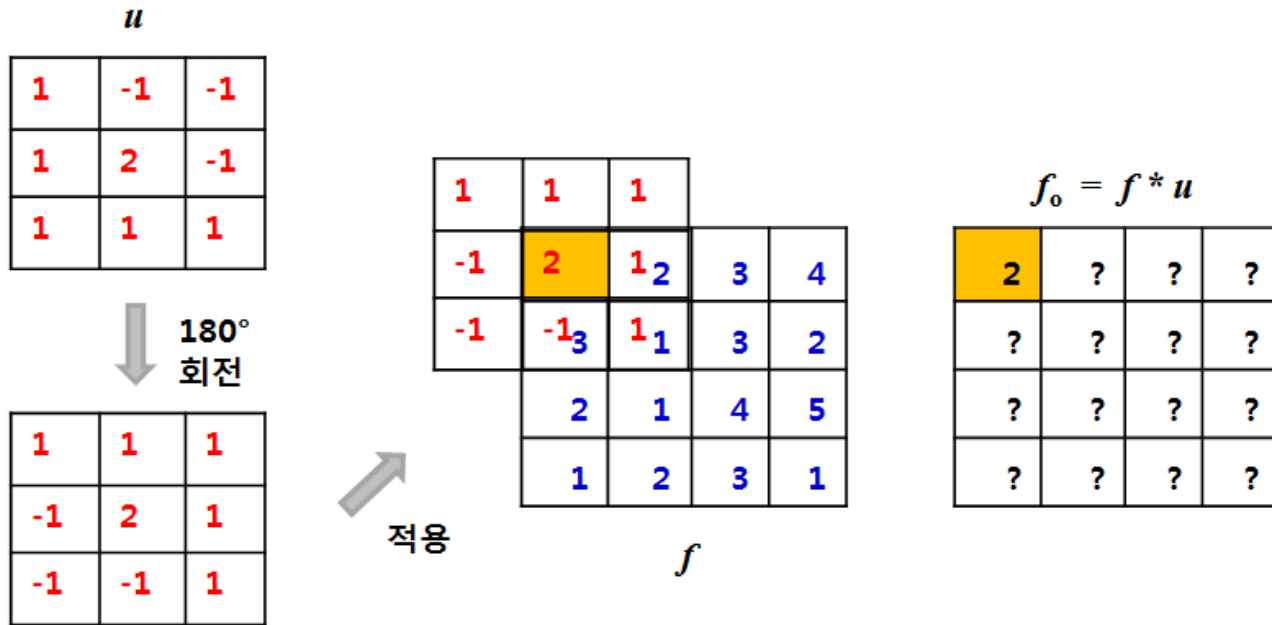
입력      윈도우



# 컨볼루션 연산과 필터

## ❖ 2차원 영상에 대한 컨볼루션 연산

$$f_o(j,i) = \sum_{y=-(k-1)/2}^{(k-1)/2} \sum_{x=-(k-1)/2}^{(k-1)/2} u(y,x)f(j-y,i-x)$$



- 윈도우 : 마스크(mask), 커널(kernel), 필터(filter), 템플릿(template)

# 컨볼루션 연산과 필터

## ❖ 에지(edge)

- 영상의 명암, 칼러, 또는 텍스처가 급격하게 변하는 위치로서 경계선이 나타나는 부분

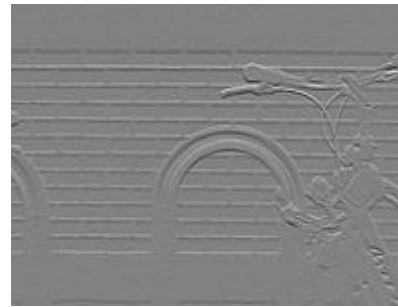
## ❖ Sobel 연산자

- 에지 검출

$$f_1(j,i)$$



$$f_2(j,i)$$



-1	0	1
-2	0	2
-1	0	1

$$m_x$$

-1	-2	-1
0	0	0
1	2	1

$$m_y$$

$$\sqrt{f_1^2(j,i) + f_2^2(j,i)}$$

# 컨볼루션 연산과 필터

## ❖ Prewitt 연산자(Prewitt operator)

- 에지 검출

-1	0	1
-1	0	1
-1	0	1

$m_x$

-1	-1	-1
0	0	0
1	1	1

$m_y$

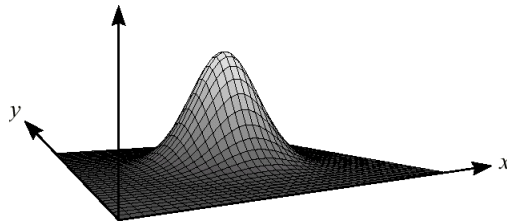


# 컨볼루션 연산과 필터

## ❖ 가우시안 필터(Gaussian filter)

- 영상에 있는 잡음(noise) 제거
- 가우시안 함수(Gaussian function)

$$G(y, x, \sigma) = \frac{1}{2\pi\sigma^2} e^{\frac{-x^2 + y^2}{2\sigma^2}}$$



$\frac{1}{273}$

1	4	7	4	1
4	16	26	16	4
7	26	41	26	7
4	16	26	16	4
1	4	7	4	1



3×3필터



5×5필터



7×7필터

## 3.5 에지 검출 Canny 연산자

### ❖ Canny 연산자(Canny operator)

- 가장 널리 사용되는 에지 검출 방법
- 과정
  - 영상에 주어진 크기의 **가우시안 필터**를 적용한다.
  - Sobel 연산자**를 적용하여, **에지의 강도와 방향**을 구한다.
  - 자신의 **이웃보다 작은 강도**를 갖는 **화소들을 제거**한다.
  - 남은 화소들 중에서 **임계값 이상의 값을 갖는 화소에서 시작하여 연결된 이웃들을 찾아 연결하여 에지**를 구성한다.



(a)



(b)

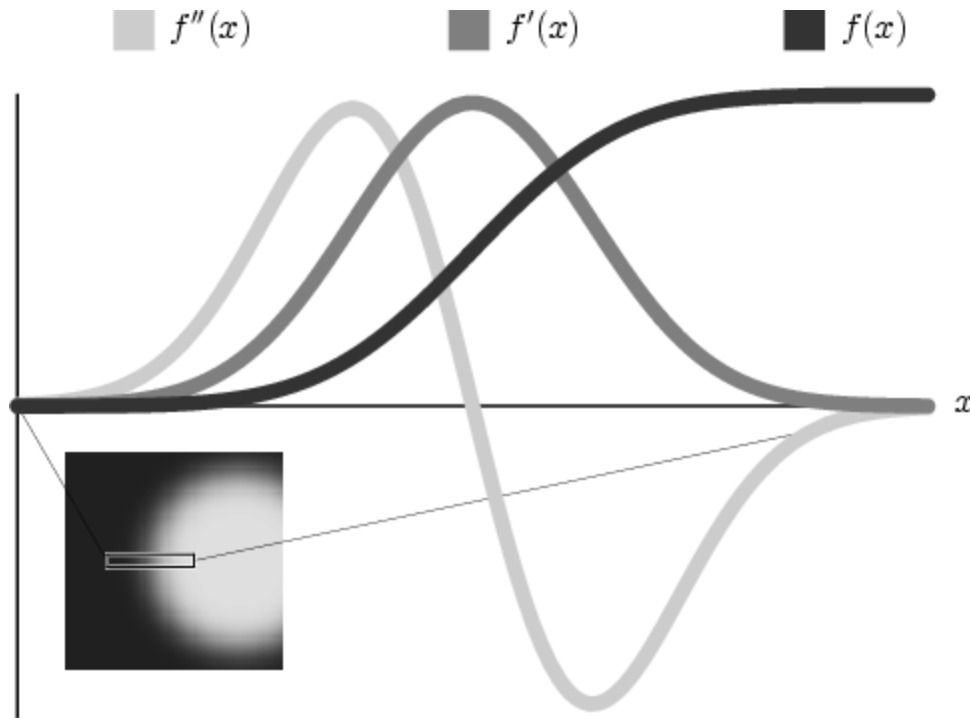
**그림 9.17** Canny 연산자의 에지 검출

(a) 원 영상 (b) Canny 연산자 적용 결과

## 3.6 LOG 필터

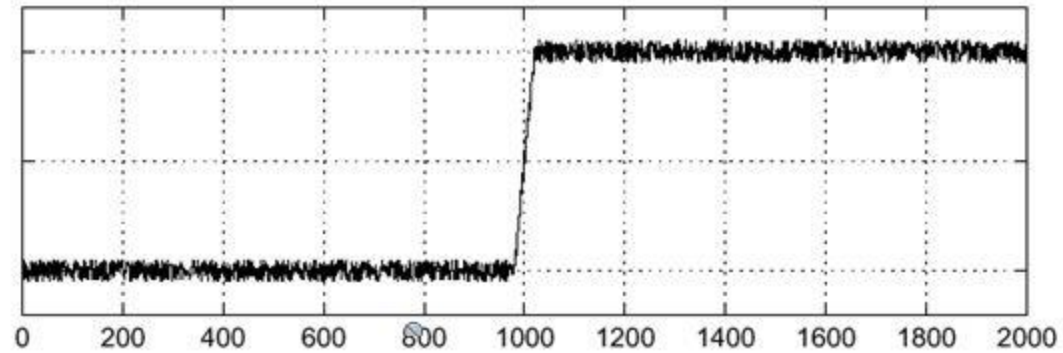
### ❖ 영상의 1차 미분과 2차 미분

- 에지(edge, 경계선)의 위치

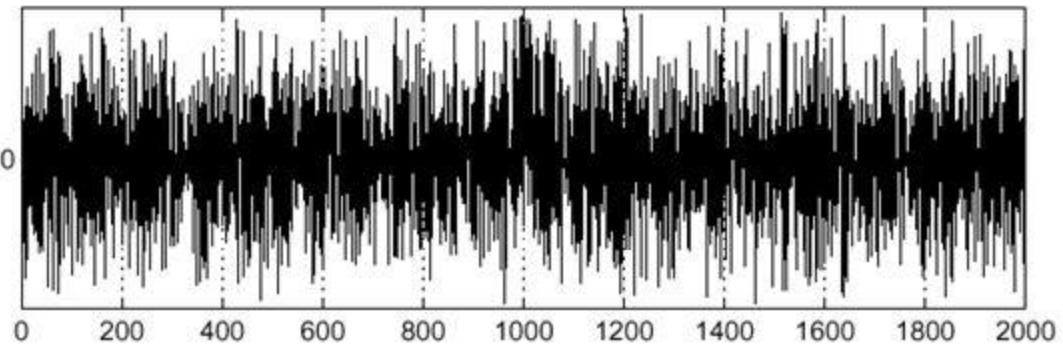


# LOG 필터

❖ 오차 신호에 대한 미분



$$\frac{d}{dx}f(x)$$





# LOG 필터

## ❖ LOG(Laplacian of Gaussian) 필터

- 영상에 **가우시안 필터**를 적용한 다음, **라플라시안 연산자**(Laplacian operator)를 적용하는 것
- 함수  $f(y, x)$ 의 **라플라시안**  $\nabla^2 f$ 
  - 함수  $f(y, x)$ 에 대한  $x$ 와  $y$ 에 대한 2차 편도함수의 합

$$\nabla^2 f(y, x) = \frac{\partial^2 f}{\partial y^2} + \frac{\partial^2 f}{\partial x^2}$$

- 라플라시안 필터(Laplacian Filter)

$$\begin{aligned}\nabla^2 f(y, x) &= \frac{\partial^2 f}{\partial y^2} + \frac{\partial^2 f}{\partial x^2} \\ &= f(y+1, x) + f(y-1, x) - 2f(y, x) + f(y, x+1) + f(y, x-1) - 2f(y, x) \\ &= f(y+1, x) + f(y-1, x) + f(y, x+1) + f(y, x-1) - 4f(y, x)\end{aligned}$$

0	1	0
1	-4	1
0	1	0

# LOG 필터

## ❖ LOG(Laplacian of Gaussian) 필터

- 영상  $f(y, x)$ 에 가우시안 필터  $G(y, x)$ 와 라플라스 필터  $L(y, x)$ 를 적용

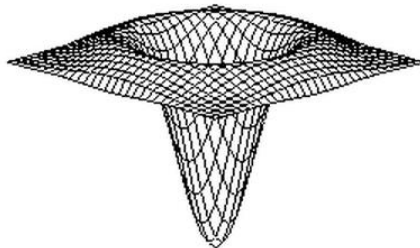
$$LOG(y, x) = L(y, x) * (G(y, x) * f(y, x))$$

- 2번의 컨볼루션 연산에 따른 시간 비용
- 컨볼루션은 **결합법칙** 성립

$$LOG(y, x) = (L(y, x) * G(y, x)) * f(y, x)$$

- 가우시안 함수에 대한 라플라시안**  $\nabla^2 G(y, x) = L(y, x) * G(y, x)$

$$\nabla^2 G(y, x) = \left( \frac{y^2 + x^2 - 2\sigma^2}{\sigma^2} \right) G(y, x)$$



멕시코 모자 함수  
(Mexican hat function)

0,4038	0,8021	0,4038
0,8021	-4,8233	0,8021
0,4038	0,8021	0,4038

3×3필터

0,0239	0,0460	0,0499	0,0460	0,0239
0,0460	0,0061	-0,0923	0,0061	0,0460
0,0499	-0,0923	-0,3182	-0,0923	0,0499
0,0460	0,0061	-0,0923	0,0061	0,0460
0,0239	0,0460	0,0499	0,0460	0,0239

5×5필터

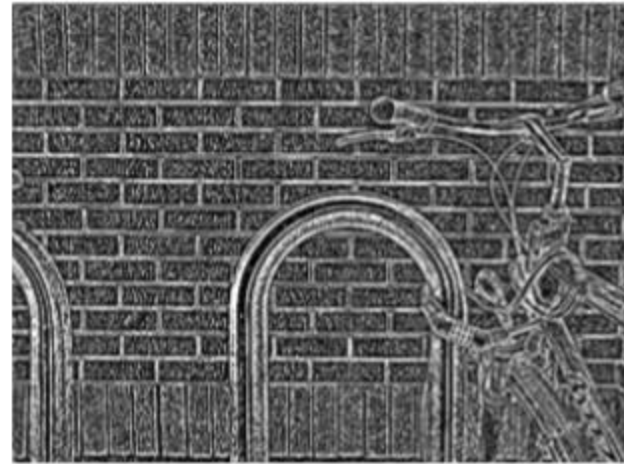
# LOG 필터

## ❖ LOG 필터 적용 결과

- 에지에 해당되는 부분에서 **영교차**(zero crossing, 양수에서 음수, 또는 음수에서 양수로 변화) 발생
- LOG 필터 적용 결과에 대해서 **영교차** 위치를 찾으면 **에지 검출**



(a)



(b)

그림 9.21 LOG 필터의 적용

(a) 원본 영상 (b) LOG 적용 결과

## 3.7 DOG 연산

### ❖ DOG(Difference of Gaussian) 연산

- 서로 다른  $\sigma$  값을 갖는 가우시안 필터를 적용한 두 영상의 차이를 구하는 것

$$DOG(\sigma) = G(k\sigma) * f - G(\sigma) * f = (G(k\sigma) - G(\sigma)) * f$$

- LOG과 DOG의 관계

$$G(k\sigma) - G(\sigma) \approx (k-1)\sigma^2 \nabla^2 G$$

- LOG대신에 DOG 사용 가능

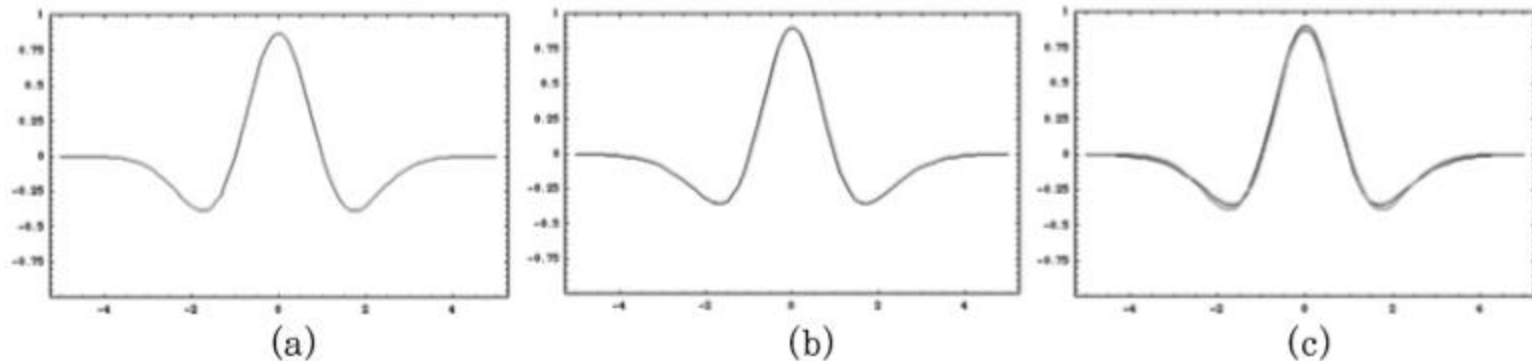


그림 9.22 1차원 가우시안 함수에 대한 LOG와 DOG 함수 형태

(a) LOG (b) DOG (c) LOG와 DOG를 중첩한 그래프

# DOG 연산

## ❖ DOG 연산

- 영교차를 사용하는 에지 검출

$$G(k\sigma) - G(\sigma) \approx (k-1)\sigma^2 \nabla^2 G$$

- $(k-1)\sigma^2$  항은 무시하고  $G(k\sigma) - G(\sigma)$ 에서 영교차 탐색
- 일정 주파수 범위의 특징 추출
  - 가우시안 필터는 신호에서 고주파 성분을 제거하는 효과
  - 서로 다른  $\sigma$  값의 가우시안 필터를 적용한 영상의 차(difference)
  - 블롭(blob, 주변과 구별되는 밝기, 색상과 같은 성질을 갖는 영역) 검출에 사용

# DOG 연산

## ❖ DOG 연산 적용 결과

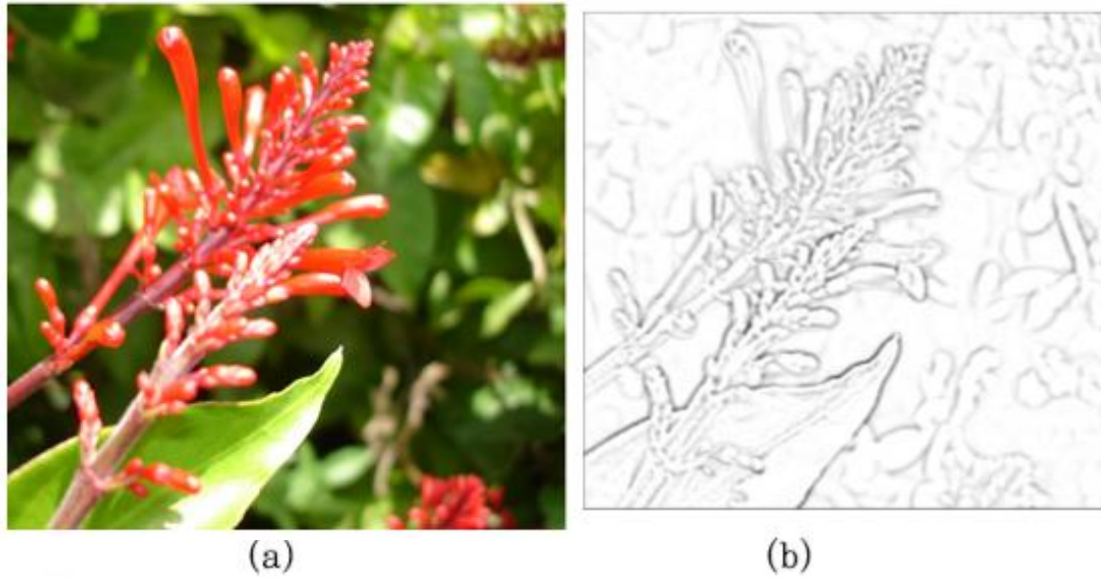


그림 9.23 DOG 연산 (a) 원본 영상 (b) DOG 적용 결과

## 3.8 영상 분할

### ❖ 영상 분할(image segmentation)

- 영상을 겹치지 않으면서 전체 영상을 덮는 영역들을 찾아내는데, 각 영역이 유사한 특징을 갖도록 하는 것
- 물체 추적, 영상 검색, 동작 인식, 얼굴 인식 등의 전처리에 필요



(a)



(b)

그림 9.24 영상 분할

(a) 원본 영상 (b) 영상 분할 결과

# 영상 분할

## ❖ 영상 분할 방법

- 분할후 합병(split-and-merge) 방법
  - 영상을 4등분하는 일을 분할된 조각이 비슷해질 때까지 계속하다가 더 이상 분할이 되지 않으면 유사한 인접 조건을 결합
- k-means 알고리즘을 적용하는 군집화 방법
- 민쉬프트(mean-shift) 군집화 알고리즘
- 그래프 절단(graph-cut) 문제로 푸는 그래프 기반 알고리즘
  - 영상의 화소를 노드로 간주하고, 이웃의 유사한 것들 사이에는 연결선을 부여하여, 영상을 그래프로 표현한 다음에, 그래프 절단 문제로 해결

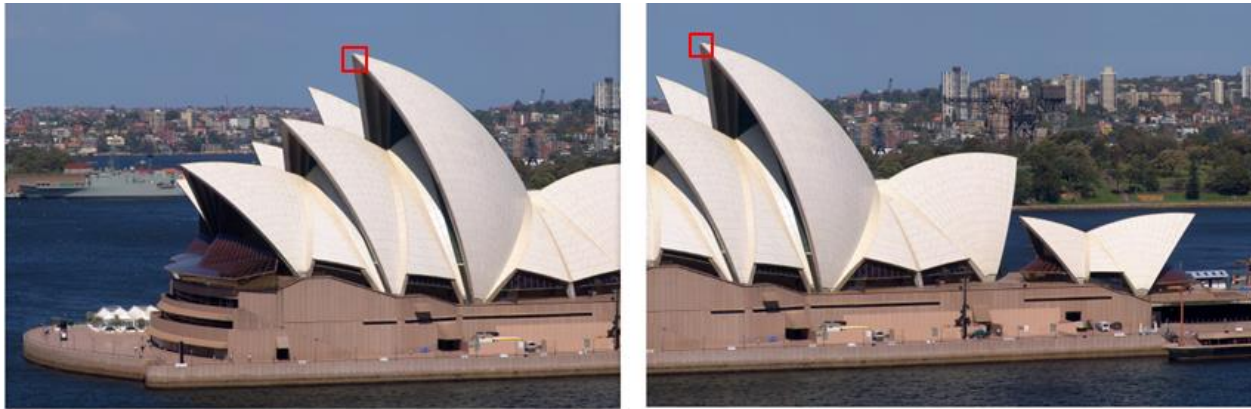




## 4. 특징 추출

### ❖ 대응점(correspondence point) 찾기 문제

- 두 영상에서 서로 일치하는 점들의 쌍을 찾는 문제



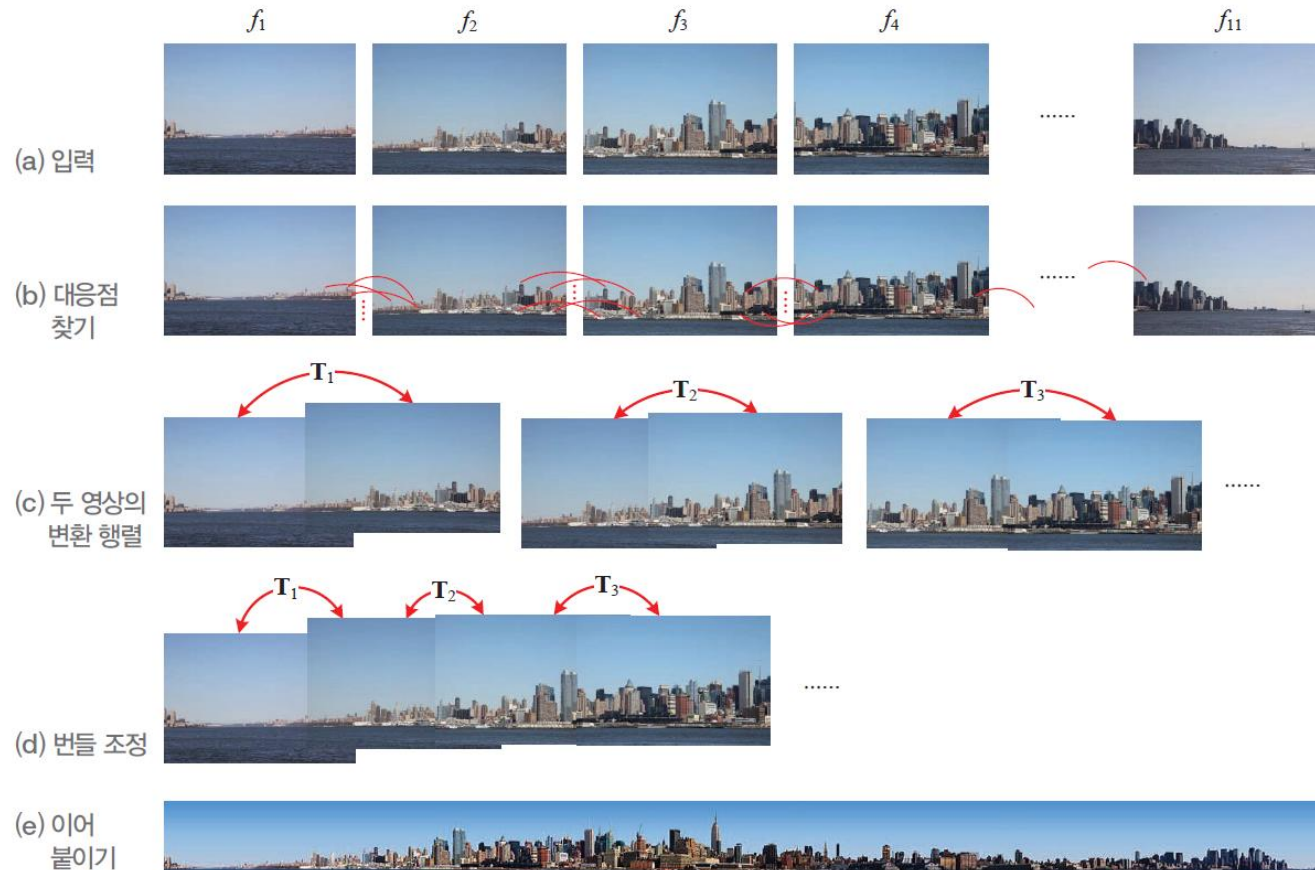
- 영상에서 특징점들을 검출하고, 특징점들의 주변정보를 참고하여 속성을 기술한 다음, 기술된 정보를 비교하여 일치하는 것을 찾는 과정을 통해 해결
- 파노라마 영상 제작, 물체 인식, 물체 추적, 스테레오 비전, 영상 정합의 문제 해결에서 필요

# 특징 추출

## ❖ 대응점의 활용

### ■ 파노라마 영상(panorama image)

- 중첩해서 찍은 인접한 두 사진에서 대응점을 찾아서 두 사진의 대응점들이 겹치도록 합성

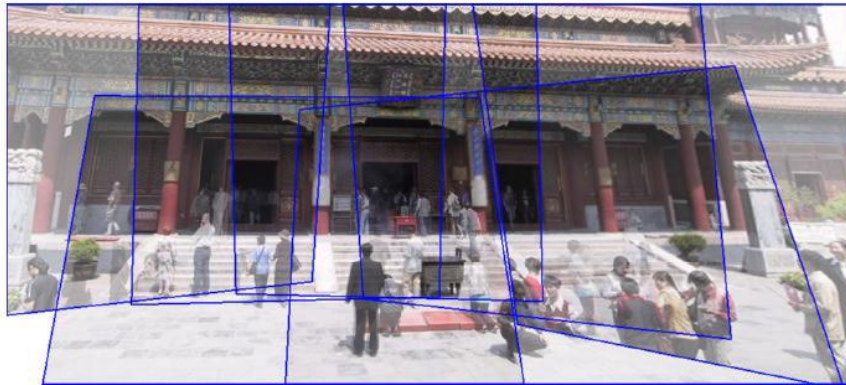


# 특징 추출

## ❖ 대응점의 활용

### ▪ 파노라마 이어붙이기(panoramic stitching)

- 중첩해서 찍은 인접한 두 사진에서 대응점을 찾아서 두 사진의 대응점들이 겹치도록 합성

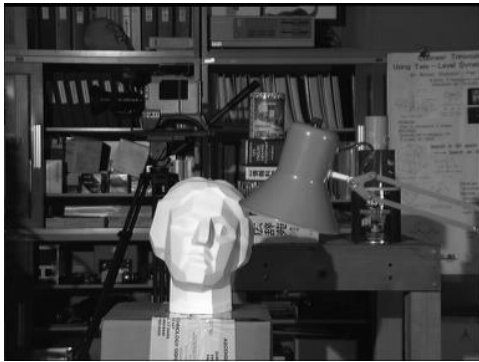


# 특징 추출

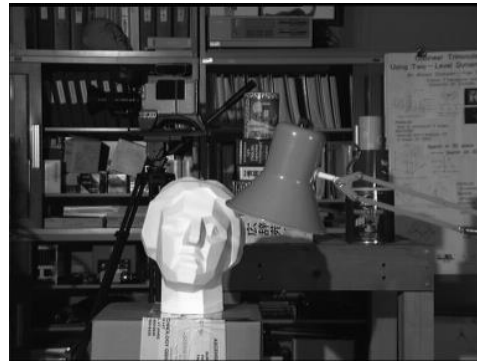
## ❖ 대응점의 활용

### ■ 스테레오 비전(stereo vision)

- 같은 장면을 다른 각도에서 찍은 두 영상으로부터 물체까지의 거리 계산
- 삼각형의 닮은비로 계산



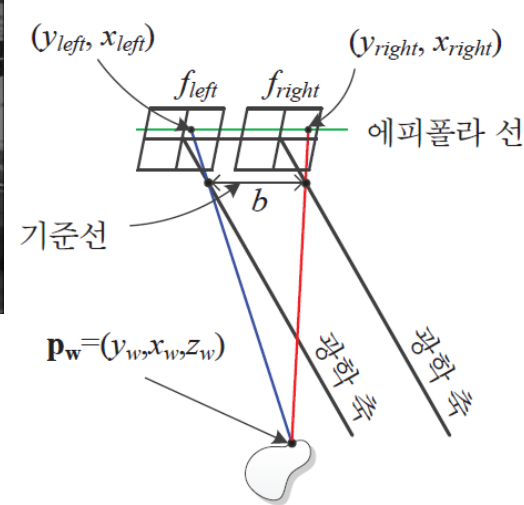
좌측 영상



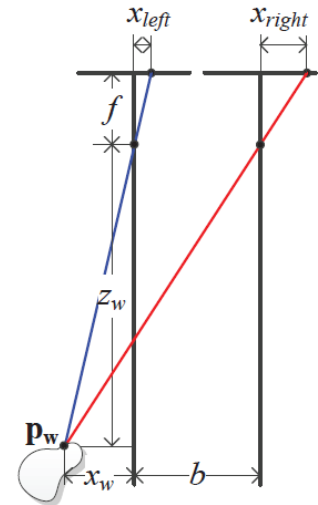
우측 영상



실체 차이 지도



(a) 투영 과정



(b) 1차원으로 단순화

$$\begin{aligned} \text{왼쪽 영상에서 } \frac{x_{\text{left}}}{f} &= \frac{x_w}{z_w} \\ \text{오른쪽 영상에서 } \frac{x_{\text{right}}}{f} &= \frac{b + x_w}{z_w} \end{aligned}$$

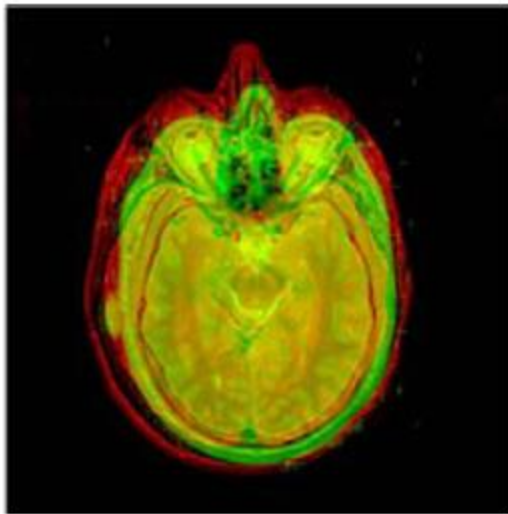
$$z_w = \frac{bf}{x_{\text{right}} - x_{\text{left}}} = \frac{bf}{d}$$

# 특징 추출

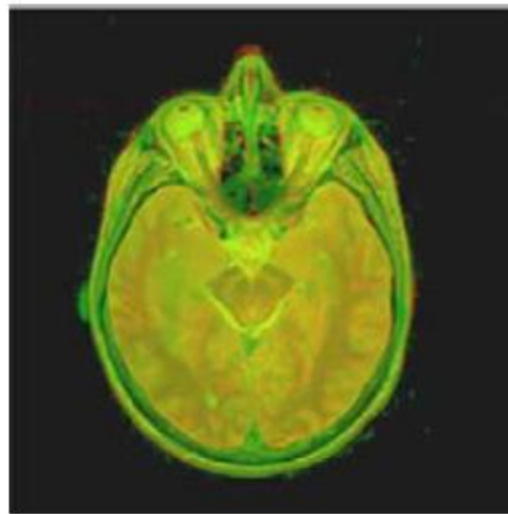
## ❖ 대응점의 활용

### ■ 영상 정합(image registration)

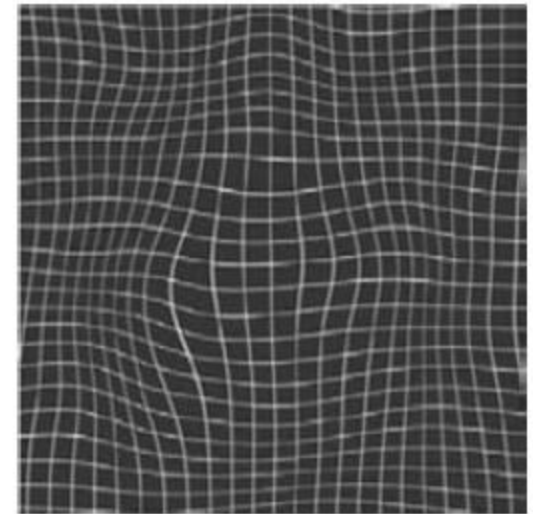
- 하나의 장면을 다른 시점에서 촬영한 **두 개의 영상**이 있을 때, 하나의 영상을 다른 영상의 **좌표계**로 **변환**시켜 나타내는 것
- 두 영상에서 대응하는 위치 쌍들을 찾아내고, 이들 위치를 대응시키는 **기하학적 변환 행렬** 탐색



두뇌 모델/  
환자 MRI



정합 후 모양



왜곡 필드

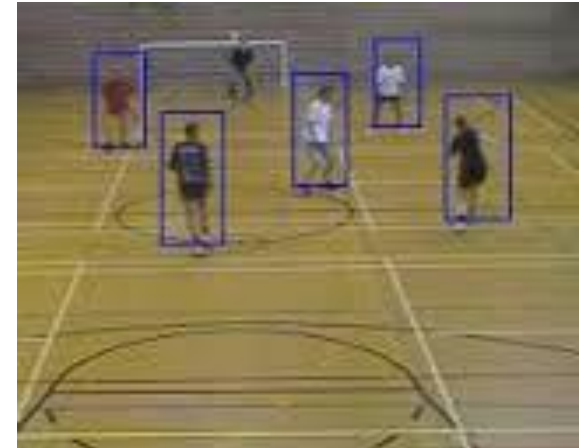
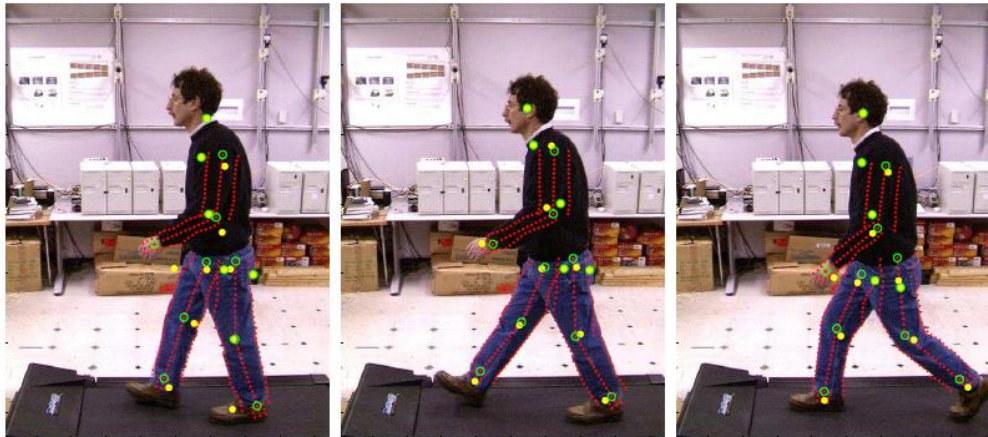


# 특징 추출

## ❖ 대응점의 활용

### ▪ 물체 추적(object tracking)

- 시간적으로 인접한 두 영상에서 대응점을 찾아 추적 대상의 위치 확인



# 4.1 특징점

## ❖ 특징점(feature point)

- 영상의 다른 곳과 **현저하게 다른 곳**

## ❖ 기술자(descriptor)

- **특징점의 주변 정보를 뽑아내어 표현하는 알고리즘 및 표현 결과**
- 대표적인 기술자 : **SIFT**

## ❖ 매칭(matching)

- 특징점의 기술자로 표현된 값들을 비교하여 **유사도를 계산해 비슷한 것**을 찾아내는 과정
- 비교할 대상이 많은 경우에는 효율적인 비교 알고리즘 필요

# 특징점

## ❖ 지역특징(local feature)

- 그레이 영상에서 직접 검출하는데, 다른 곳과 현저하게 차이가 나는 특징 정보가 풍부한 곳을 찾는 것
- 지역 특징점의 요구조건
  - 반복성(repeatability) : 한 영상에서 특징점으로 검출된 것은 다른 영상들에서도 유사한 특성을 갖는 특징점으로 검출
  - 분별력(distinctiveness) : 물체의 다른 곳과 충분히 구별
  - 지역성(locality) : 특징점 주변의 작은 영역에서 특징 정보가 충분
  - 정확성(accuracy) : 특징점의 위치를 정확히 결정 가능
  - 효율성 : 특징점이 너무 많이 검출되지 않으면서 짧은 계산 시간



## 4.2 영상 피라미드와 스케일 공간

### ❖ 영상 피라미드(image pyramid)

- 영상의 가로, 세로 길이를 각각  $1/2$ 로 줄여가면서 생성한 일련의 이미지
- 크기 변화에 대응할 수 있는 특징점 검출 가능
- 영상의 크기가  $1/4$ 로만 줄어드는 제약

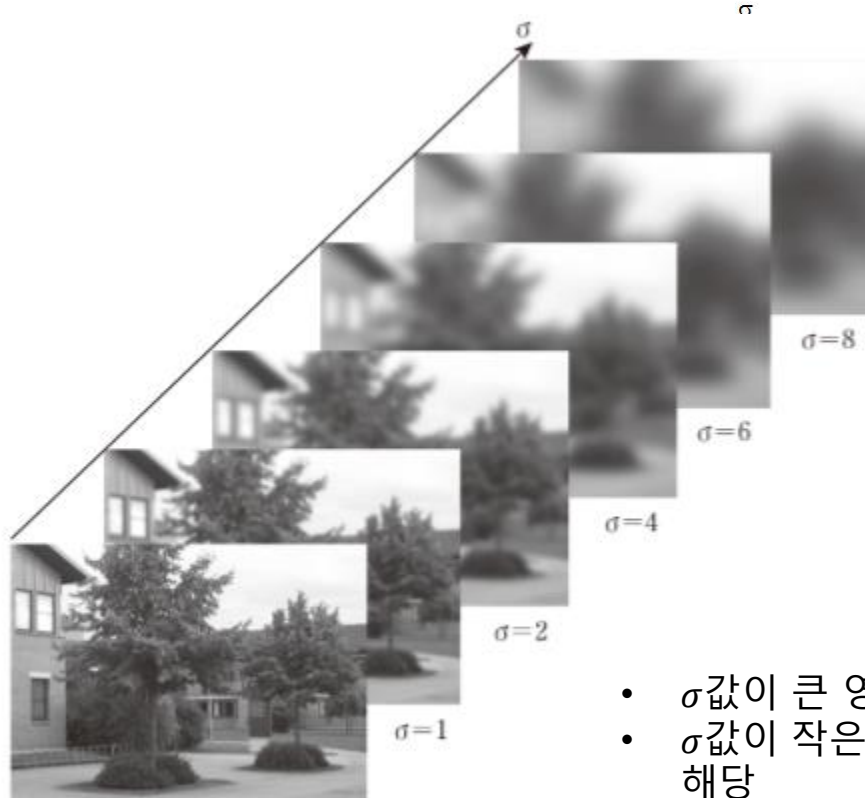


그림 9.26 영상 피라미드

# 영상 피라미드와 스케일 공간

## ❖ 스케일 공간(scale space)

- 멀리 떨어져 있는 물체가 희미하게 보인다는 점에 착안
- 영상의 크기를 줄이는 것이 아니라 가우시안 필터의 표준편차  $\sigma$  값을 점점 키워가면서 여러 개의 영상을 만드는 것



- $\sigma$  값이 큰 영상에서 검출되는 특징은 크기가 큰 특징에 해당
- $\sigma$  값이 작은 영상에서 검출되는 특징은 크기가 작은 특징에 해당

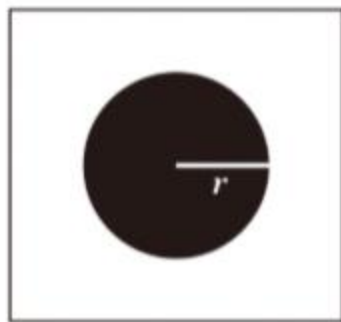
그림 9.27 스케일 공간  $\sigma$ 는 적용한 가우시안 필터의 표준편차를 나타낸다.

## 4.3 블롭 검출

### ❖ 블롭 검출(blob detection)

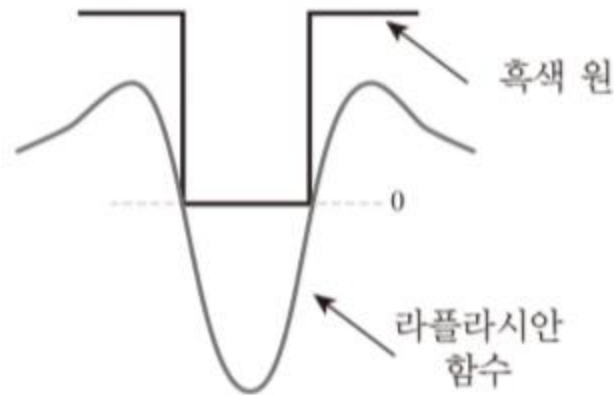
- 라플라시안 필터는 블롭(위치, 크기)을 검출하는 역할

$$LOG(y, x, \sigma) = \nabla^2 G(y, x, \sigma) = \frac{1}{\pi \sigma^2} \left( \frac{x^2 + y^2 - 2\sigma^2}{2\sigma^2} \right) e^{-\frac{x^2 + y^2}{2\sigma^2}}$$



흑백 영상

(a)



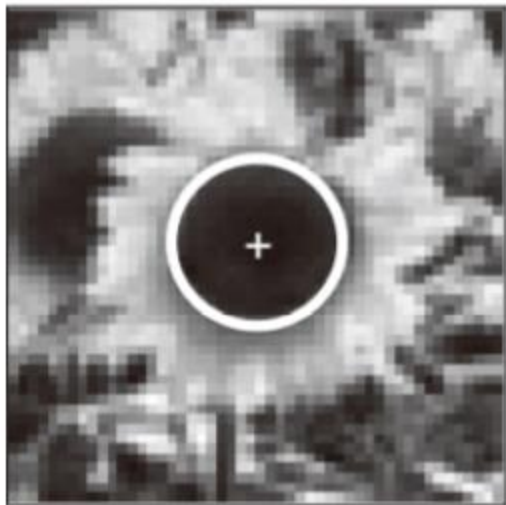
(b)

그림 9.28 라플라시안 함수의 효과

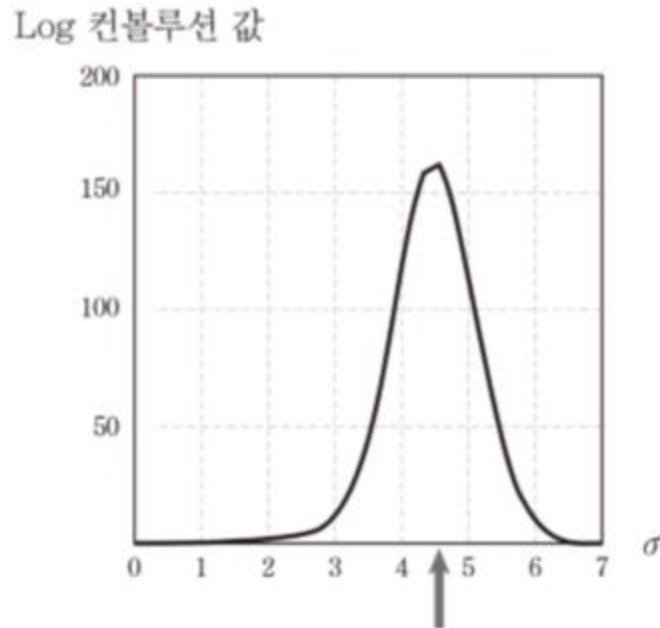
(a) 원의 중심에 라플라시안 함수의 필터를 씌워 컨볼루션을 할 때, 가장 큰 값을 얻기 위해서는 (b)와 같이 라플라시안 함수의 값이 0이 되는 부분이 흑색원의 경계가 된다.

# 블롭 검출

## ❖ 블롭 검출(blob detection)



(a)



(b)

그림 9.29  $\sigma$ 값에 따른 LOG 컨볼루션 값의 변화

(b)는 (a)의 '+' 표시된 위치에서,  $\sigma$ 를 변경하면서 LOG 컨볼루션을 계산한 결과 값을 나타낸다.

## 4.4 SIFT 특징점 검출

### ❖ SIFT(Scale-Invariant Feature Transform)

- 1999년 로우(David G. Lowe)가 개발한 대표적인 지역특징 추출 방법
- **키포인트**(keypoint)
  - SIFT에서 특징점
- 스케일 공간과 피라미드 구조 사용
  - **옥타브**(octave)
    - 같은 크기의 스케일 공간
    - 보통 5~6개의 영상 포함
  - 인접 영상과의  $\sigma$ 값의 차이  $k$  비율
    - $2^{1/3} \approx 1.26$
    - $\sigma = 1.6$
  - 다음 옥타브의 첫번째 영상
    - $k^2\sigma$ 의 영상에서 다운샘플링 (downsampling)
    - » 하나 건너 하나 선택
  - 영상 크기가  $4 \times 4$ 가 될때 까지 반복

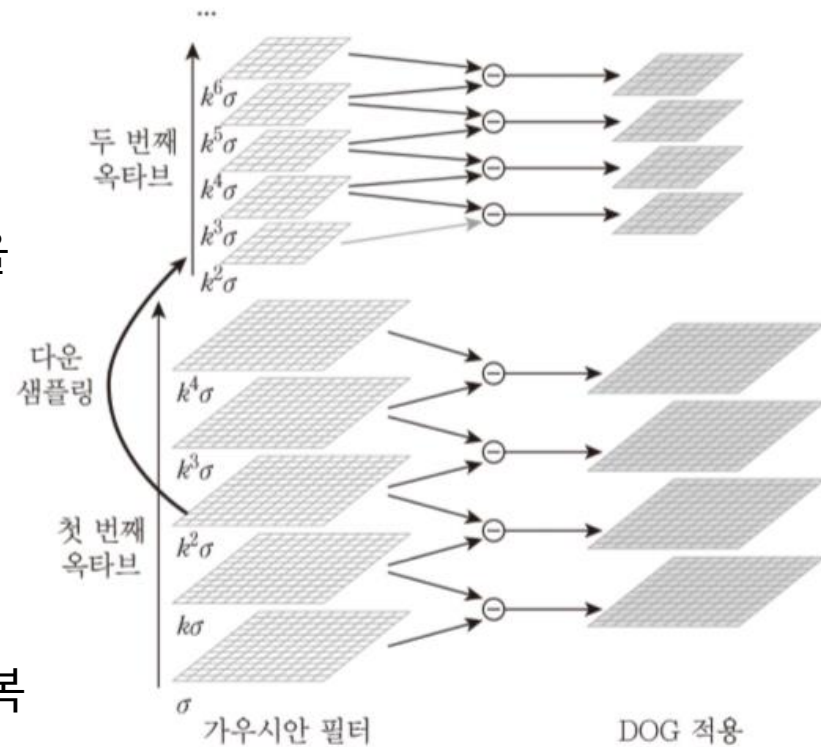


그림 9.30 SIFT의 스케일 공간과 피라미드

# SIFT 특징점 검출

## ❖ SIFT

- 옥타브 내의 인접 영상에 대해서 DOG 계산
  - LOG를 하는 효과
  - 피라미드 구축과정에서 가우시안 필터 적용
- **키포인트 선택**
  - 위와 아래 DOG 영상들을 포함해서 이웃한 26개의 값과 비교
  - 'x' 위치의 값이 최소나 최대가 되면 극점으로 선택

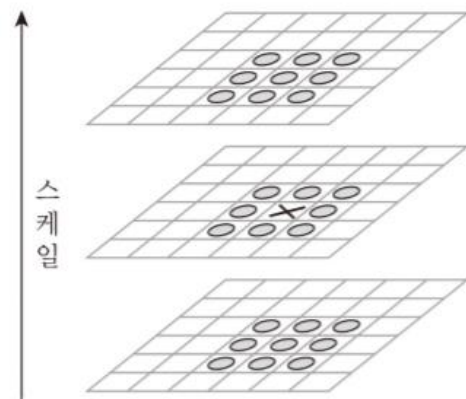
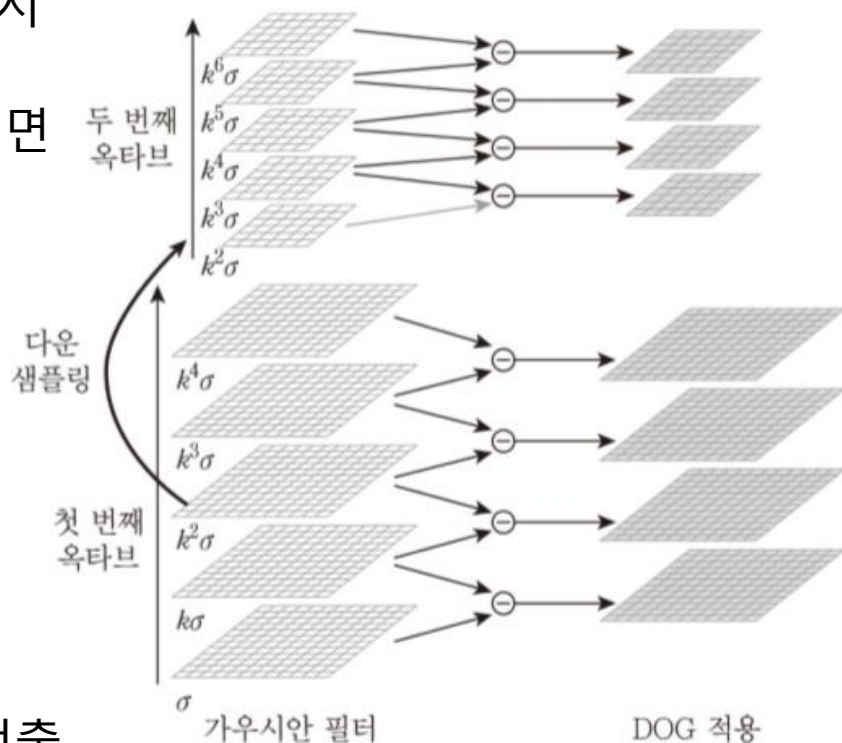


그림 9.31 키포인트 검출



- 다양한 크기의 블롭을 찾는 특징점 검출

# SIFT 특징점 검출

## ❖ SIFT 키폰트(특징점) 검출결과

- 특징점 위치 : 원의 중심
- 특징점 크기 : 원의 크기



# SIFT 특징점 검출

## ❖ 특징점 추출 방법

- SIFT
- 해리스-라플라스(Harris-Laplace)
- SURF(Speeded-Up Robust Features)
- FAST
- ORB
- BRISK
- ...



## 4.5 특징 기술자

### ❖ 특징 기술자

- 관심점(interest point, 특징점)의 특징을 추출한 정보를 기술한 것 또는 이러한 정보를 추출하는 알고리즘
- 기술자의 요구 조건
  - 관심점들을 잘 구별할 있는 **분별력**(discriminating power)
  - 회전, 크기변화, 이동과 같은 기하학적 변화에 대해서 영향을 받지 않는 **불변**(invariant)
  - 조명변화, 잡음, 가림에 대해서도 **강건**(robust)
- 기술자의 종류
  - **SIFT의 기술자**
  - SIFT의 변형인 **PCA-SIFT**와 **GLOH**
  - **모양 콘텍스트(shape context)**
  - **BRIEF**
  - **ORB**
  - **BRISK** 등

# SIFT 특징 기술자

## ❖ SIFT 특징 기술자

- 회전변환에 불변인 기술자 생성
- 키포인트(관심점)의 위치와 크기가 주어지면 **지배적 방향**(dominant direction) 결정
- 키포인트를 중심에 두고 키포인트의 크기에 비례하는 크기의 가우시안 윈도우 적용
- 윈도우와 중첩되는 위치의 각 화소에 대해 **그레디언트**(gradient)를 계산 해당 위치의 가우시안 필터값을 곱함
- 그레디언트를 10도 구간으로 분할, 히스토그램 작성
- 지배적 방향으로 회전

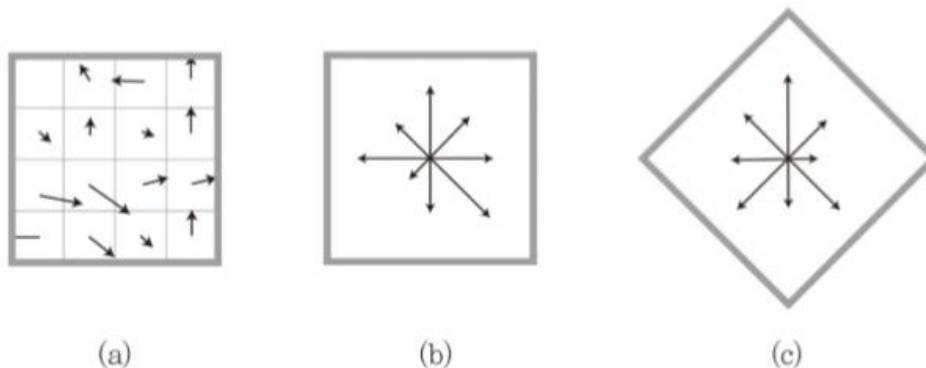


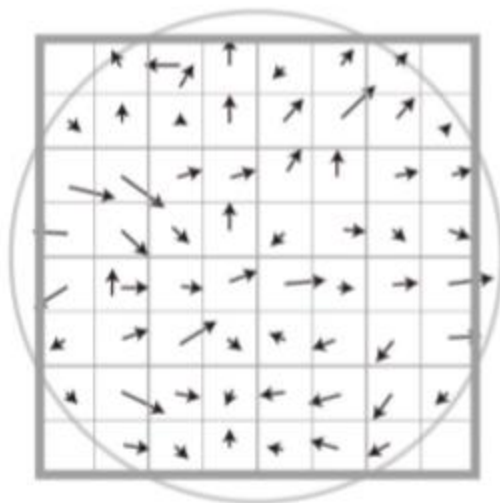
그림 9.32 SIFT에서 지배적 방향 선정

(a) 그레디언트 벡터 (b) 그레디언트 히스토그램 (c) 지배적 방향이 위쪽을 향하도록 회전한 결과

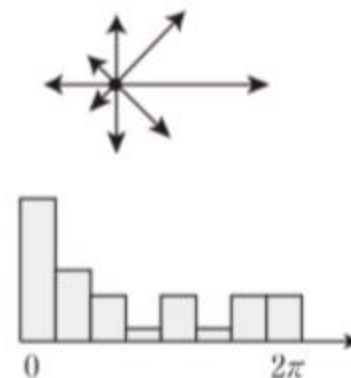
# SIFT 특징 기술자

## ❖ SIFT 특징 기술자

- SIFT 기술자의 특징 기술
- 전체 윈도우를  $4 \times 4$ 블록으로 나누고, 각 블록에 대해서 8단계로 양자화하여 히스토그램 계산
- 각 블록의 히스토그램을 모아둔 형태로  $4 \times 4 \times 8 = 128$  차원의 벡터
- 크기, 방향, 광도 변화에 불변성 특성 추출



(a)



각도 히스토그램

(b)

그림 9.33 SIFT 기술자의 특징 기술

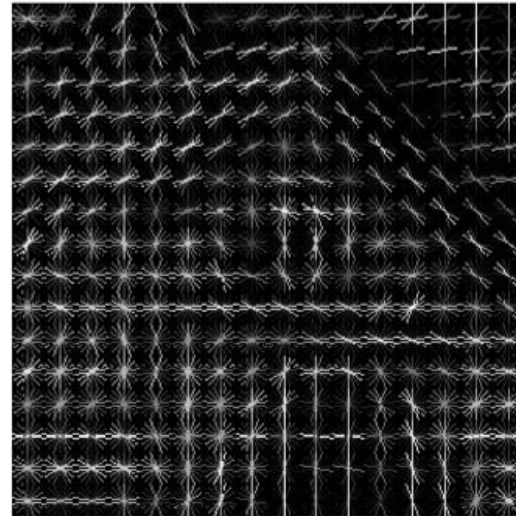
## 4.6 HOG 기술자

### ❖ HOG 기술자

- HOG(Histogram of Oriented Gradients, 방향성 그레이언트의 히스토그램)
- 사람의 형태나 보행자를 검출하는 데 주로 사용되는 영상의 기술자
- 영상을 일정 크기의 블록으로 나누어 그레이디언트를 계산한 다음, 그레이디언트를 이용하여 해당 블록의 지역적 히스토그램을 생성하고, 지역적 히스토그램을 이어붙여 1차원 벡터로 된 기술자 생성



(a)



(b)

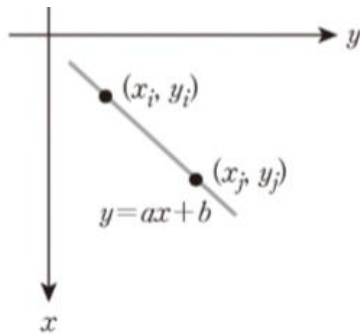
그림 9.34 HOG 기술자

(a) 원 영상 (b) 셀별 그레이디언트 히스토그램

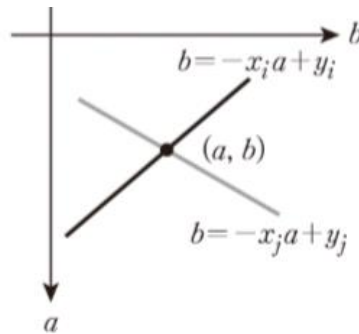
## 4.7 허프 변환

### ❖ 허프 변환 (Hough transform)

- 영상에서 **직선**이나 **곡선**을 찾는 데 사용되는 기법
- 칼러 영상 이라면 **그레이 영상**으로 변환한 다음,  
Canny 연산자 등을 통해서 **윤곽선**에 해당하는 위치들이 **점으로 표시된 이진 영상**으로 변환한다고 전제



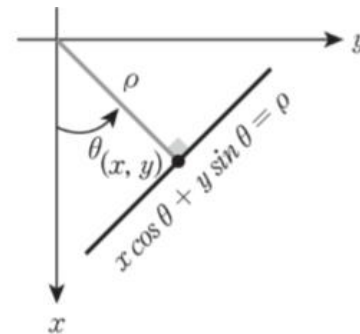
(a)



(b)

그림 9.35 직선의 표현

(a)  $xy$ -평면 (b)  $ab$ -평면



(a)



(b)

그림 9.36  $\rho\theta$ -공간에서 직선의 표현

(a) 점  $(x, y)$ 와  $(\rho, \theta)$ 의 관계 (b)  $\rho\theta$ -공간

# 허프 변환

## ❖ 허프 변환 – cont.

- 영상에서 **직선**을 찾는 방법
  - 특징공간을 일정간격의 격자로 나누고  
해당 격자에 지나가는 것들은 동일한 교차점을 갖는다고 간주
  - 많은 곡선이 지나간 격자들 만을 선택해서 해당 격자에 해당하는 직선을 추출
- 방정식으로 표현되는 다른 곡선들을 찾는 데도 사용 가능

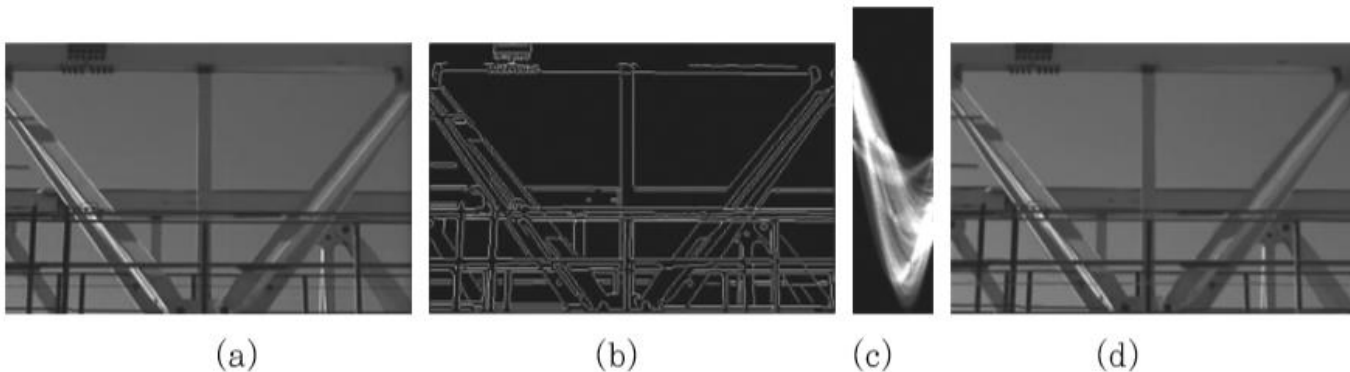


그림 9.37 허프변환 적용 예

(a) 원본 영상 (b) Canny 연사자를 적용한 윤곽선 이진 영상 (c)  $\rho\theta$  -공간 표현 (d) 식별된 직선

## 4.8 매칭

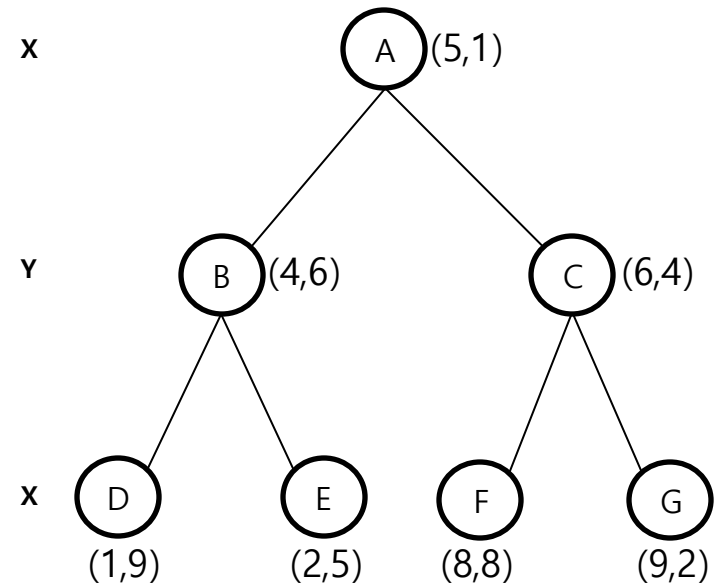
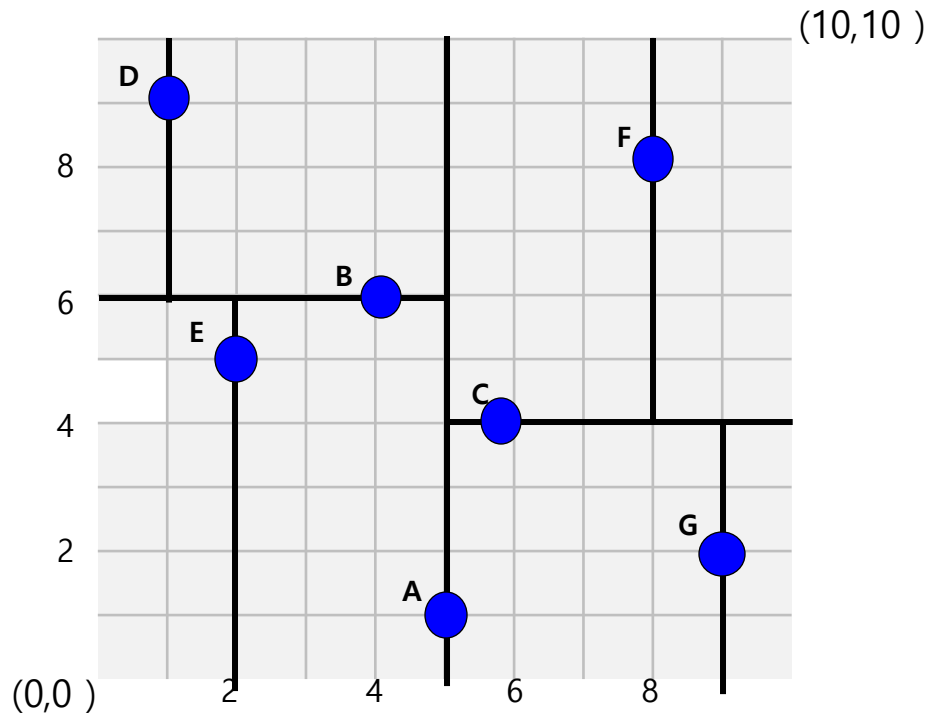
### ❖ 매칭(matching)

- 대상들을 비교하여 유사한 것들을 찾아내는 것
- 특징점이 추출되고 이에 대한 기술자가 벡터로 주어지면, 특징점들은 고차원 공간에 있는 점에 대응
- **인덱싱 구조 사용**
  - **k-d 트리(k-d tree)**
    - 공간을 각 차원에 직교하는 공간으로 분할하여 공간을 쉽게 찾도록 도와주는 자료구조
    - 비교적 낮은 차원(10차원 이내)에는 효과적
  - **지역민감 해싱(locality sensitive hashing) 방법**
    - 고차원 데이터에 대해 빠른 근사적 검색이 가능한 기법
    - 유사한 데이터가 같은 버킷(bucket)으로 대응될 확률이 큰 해시 함수(hash function)를 사용

# 매칭

## ❖ k-d 트리(k-d tree)

- [Bently, 1975]
- 고차원 데이터인 경우 전체 데이터에 대한 비교를 할 만큼 느림

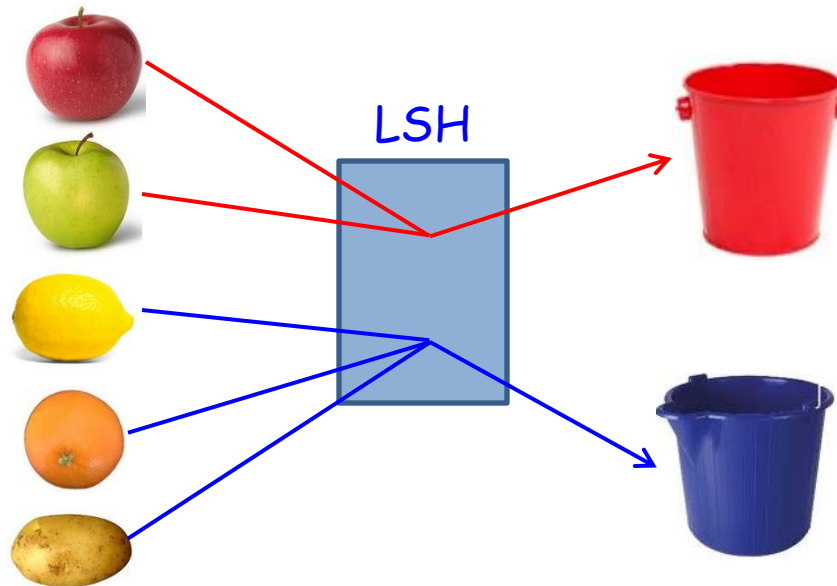




# 매칭

## ❖ 지역민감 해싱(locality sensitive hashing)

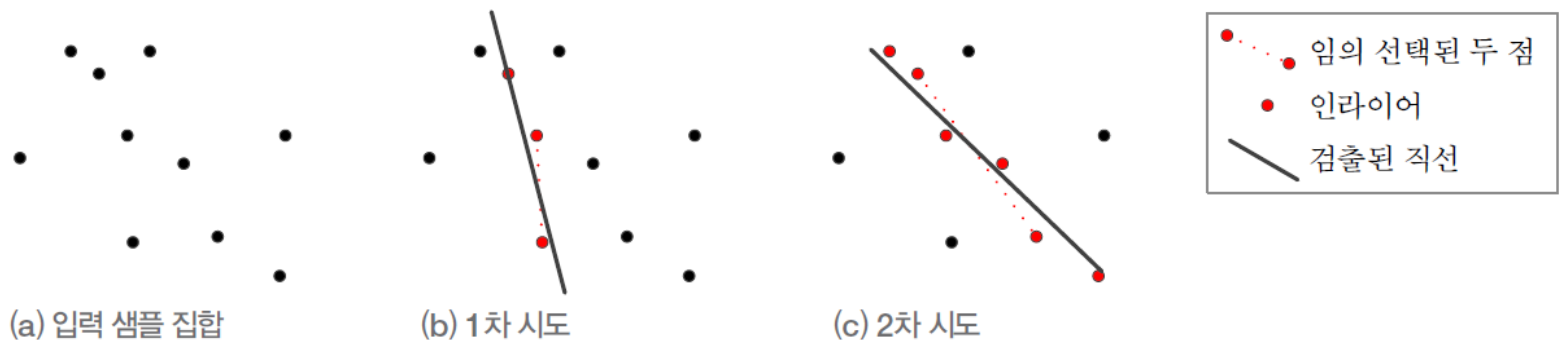
- 유사한 데이터는 같은 버킷(bucket)으로 높은 확률로 해싱
- 차이가 큰 데이터는 같은 버킷으로 낮은 확률로 해싱



# 매칭

## ❖ 기하정렬과 RANSAC

- 동일 장면을 다른 시점에서 획득된 두 영상에서 대응되는 객체의 기하학적 변환 관계
- 한 영상을 기하학적 변환 행렬에 곱하면 다른 영상이 근사하게 만드는 변환 찾기
- **RANSAC**(Random Sample Consensus) 알고리즘
  - 주어진 여러 데이터들 중에서 임의로 몇 개를 선택하여 함수를 근사한 다음, 해당 함수와 부합하는 데이터들을 확인
  - 해당 함수가 얼마나 바람직한지 평가하거나, 부합하는 데이터들을 포함시켜 함수를 개선



# 매칭

## ❖ 기하정렬과 RANSAC

- 대응점 문제에 대한 RANSAC 적용
  - 두 영상에 대한 대응점의 쌍들의 데이터를 입력으로 사용
  - **대응점 쌍들** 중에서 무작위로 **세 쌍**을 선택
  - 세 대응점에서 한 영상의 좌표값은 입력으로 다른 영상의 좌표값은 출력으로 만들어주는 **변환 행렬  $T$**  계산
    - 최소제곱법(least mean square method), 최소제곱중간값법(least median square method) 등 사용
  - 나머지 대응점 쌍의 변환행렬  $T$ 의 변환관계를 **만족하는지 평가**
  - 다시 무작위로 세 쌍의 대응점들을 선택한 다음에 위의 과정 **반복**
  - 여러 번 반복하여 **가장 좋은 것을 변환행렬 사용**
  - 영상들에 대해서 대응점의 쌍들과 변환 행렬을 찾으면, 영상들의 이어붙이기(stitching) 가능

# 매칭

## ❖ 영상 이어붙이기

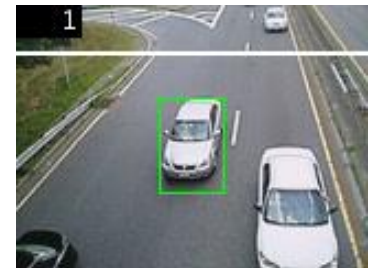
- 대응점 찾기
- 변환행렬 찾기



# 5. 컴퓨터 비전 대상 문제

## ❖ 동영상 처리 기술

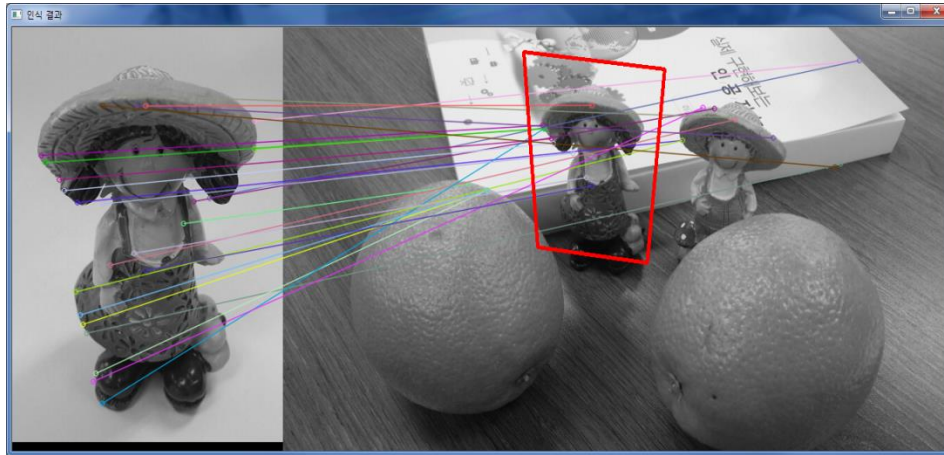
- 정지영상이 연속해서 있는 것으로 보고 처리
- 물체의 움직임 추적
  - 인접한 두 장의 영상에서 움직임을 검출하는 **광류(optical flow)** 관련 기술
  - 예측 모델을 사용하여 움직임을 추적하는 기술
- 광류(optical flow)
  - 영상의 물체들의 속도 분포



# 컴퓨터 비전 대상 문제

## ❖ 인식문제

- 사례 인식(instance recognition)
  - 특정 물체가 영상에 있는지 찾는 것
  - SIFT와 같은 우수한 지역특징이 개발되면서 높은 성능 구현



- 범주 인식(category recognition)
  - 영상 속에 나타나는 물체가 어떤 범주에 속하는지 결정하는 문제
  - 범주 내의 변화가 매우 크기 때문에 아직 만족스러운 결과를 얻지 못함

## 6. 객체 위치 검출 및 개체 인식

### ❖ 객체 위치 검출 및 개체 인식을 위한 딥러닝 모델

- R-CNN 모델
  - R-CNN, Fast R-CNN, Faster R-CNN
- YOLO 모델
- SSD 모델

# 6.1 R-CNN 모델

## ❖ R-CNN 모델

- 먼저 객체를 포함하고 있을 것 같은 영역을 찾기 위해 기존의 **영역 제안알고리즘** 적용
- 추천된 각 영역의 특징 추출을 위해, AlexNet의 변형된 형태인 CNN 모델 사용

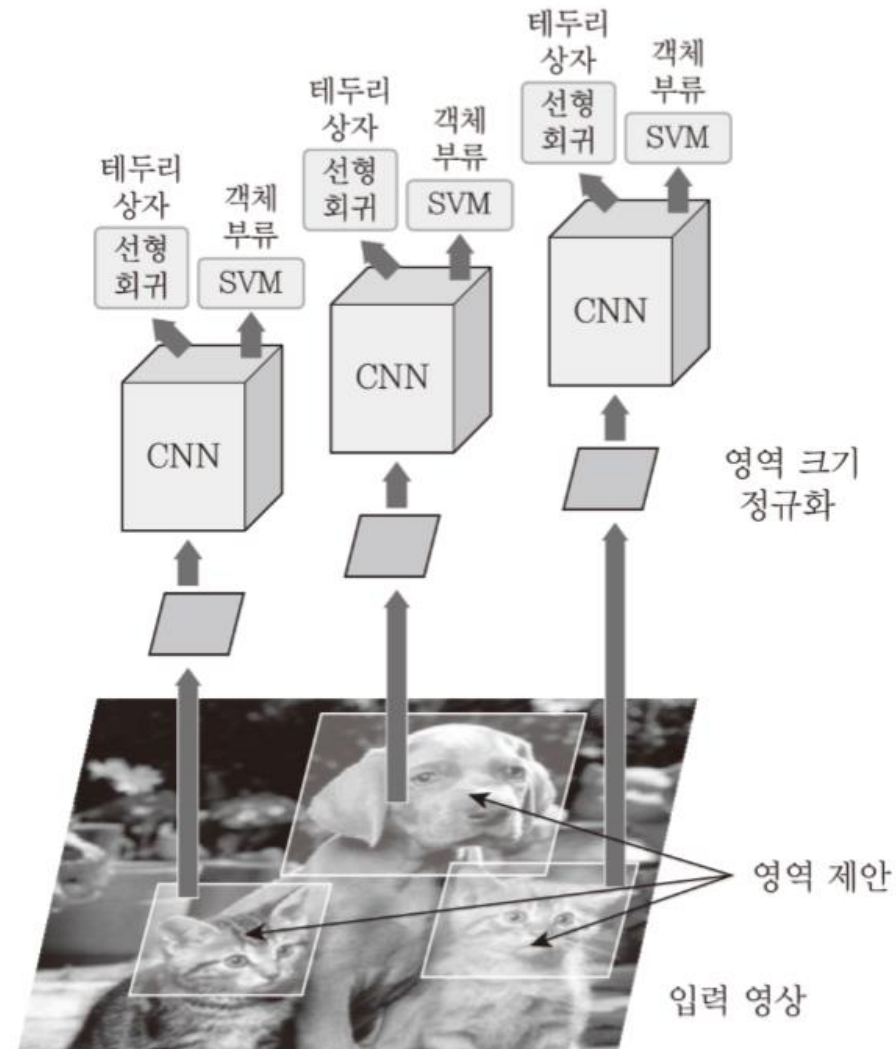


그림 9.39 R-CNN 모델



# R-CNN 모델

## ❖ Fast R-CNN 모델

- 특징 지도에서 영역 제안 알고리즘이 추천한 물체 영역들에 대한 대응 위치를 찾아, 관심 영역으로 선택
- 완전 연결층의 출력은 관심 영역 내의 객체를 분류하는 소프트맥스 분류기와 추천된 객체 영역을 미세 조정하는 선형 회귀 모델로 각각 전달

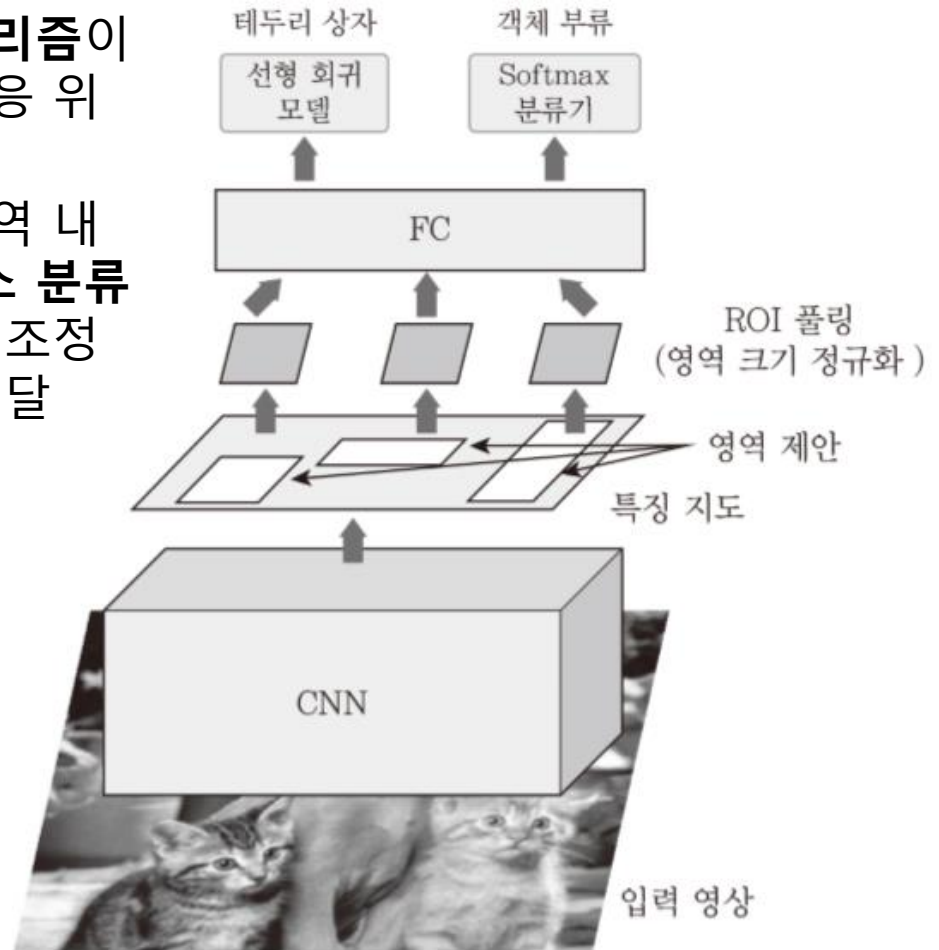


그림 9.40 Fast R-CNN 모델

# R-CNN 모델

## ❖ Faster R-CNN 모델

- 특징 지도로부터 직접 객체 영역을 찾는 **영역 제안 망**을 내부에 포함

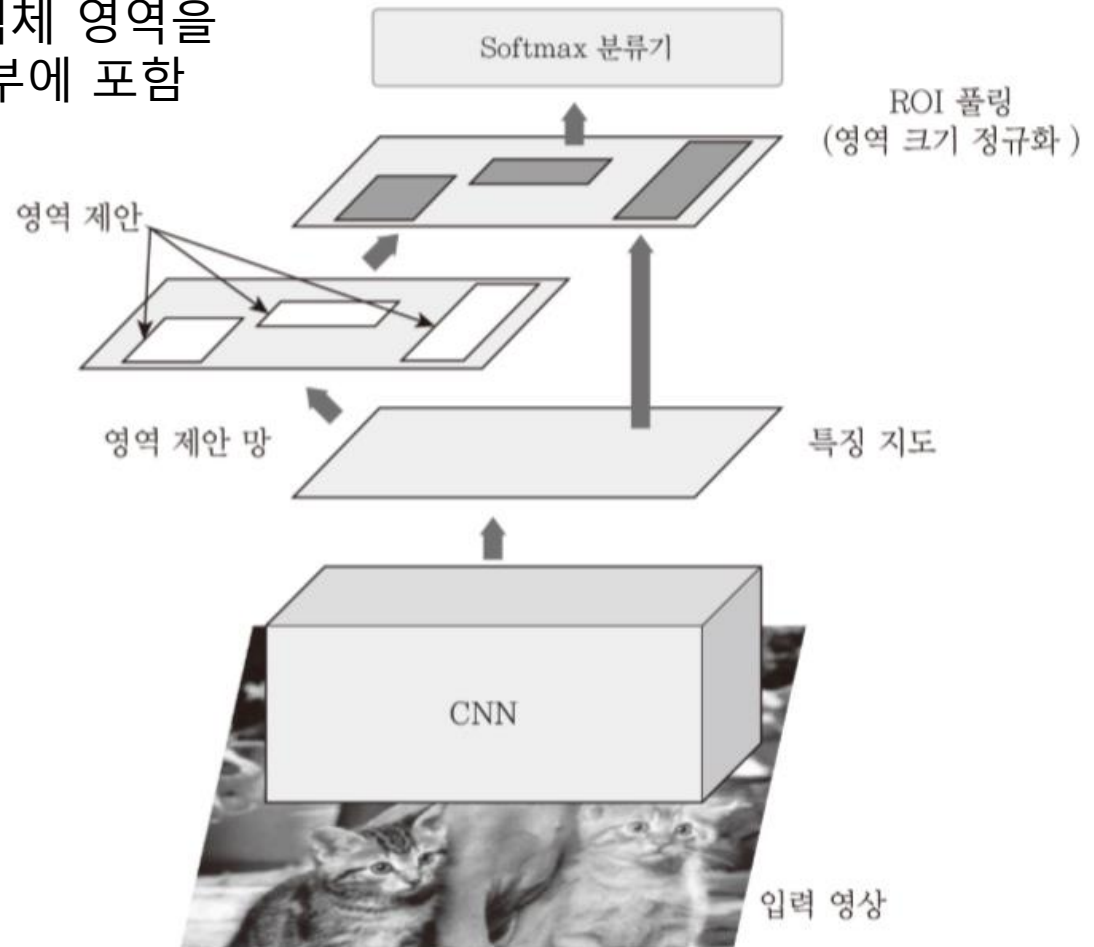


그림 9.41 Faster R-CNN 모델

# R-CNN 모델

## ❖ Faster R-CNN의 영역 제안 망

- 특징 지도에 대해 여러 크기의 앵커에 대해 객체의 유무 평가

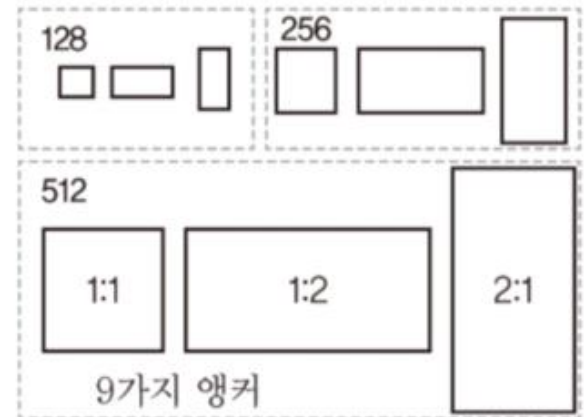
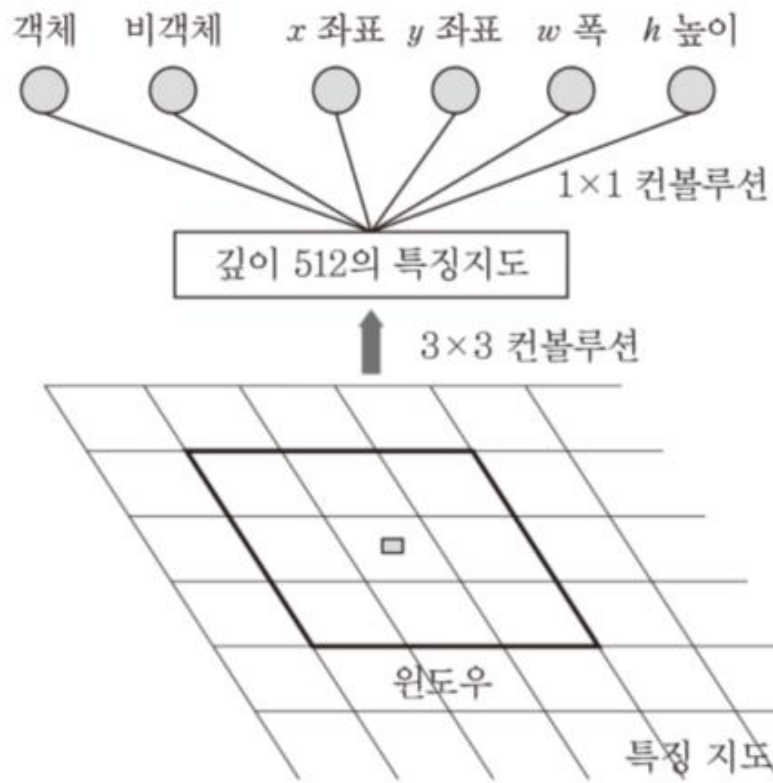


그림 9.42 Faster R-CNN의 영역 제안 망

## 6.2 YOLO 모델

### ❖ YOLO 모델

- 실시간으로 객체를 감지하고 인식하는 모델

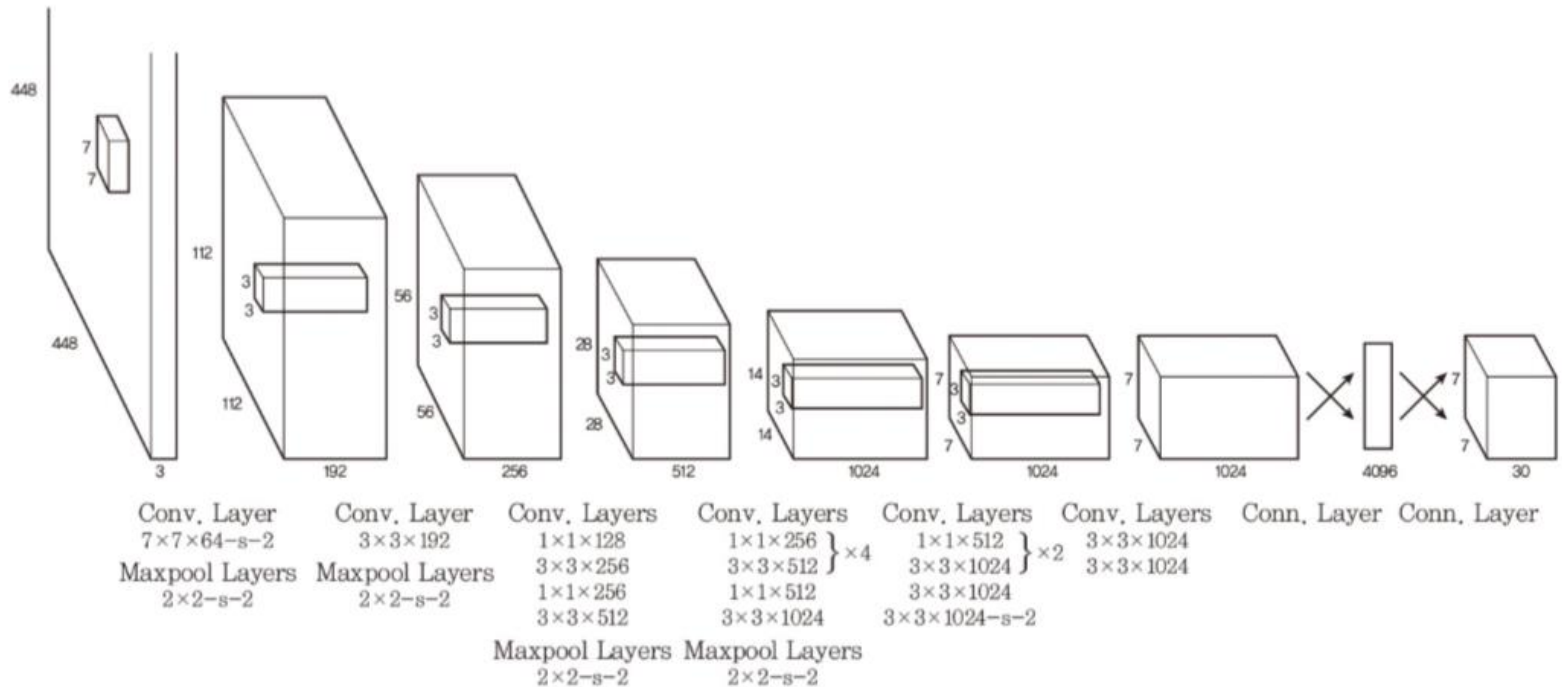


그림 9.43 YOLO의 구조 [출처: Redmon 등 2015]

- 개선된 모델
  - YOLO Fast, YOLOv2, YOLOv3

## 6.3 SSD 모델

### ❖ SSD 모델

- 각 영상에 해서 고정된 크기의 테두리 상자들을 지정하여 객체에 대응하는 테두리 상자와 해당 상자에서 객체의 부류를 잘 찾을 수 있도록 학습
- 실시간 객체 위치 식별 및 인식

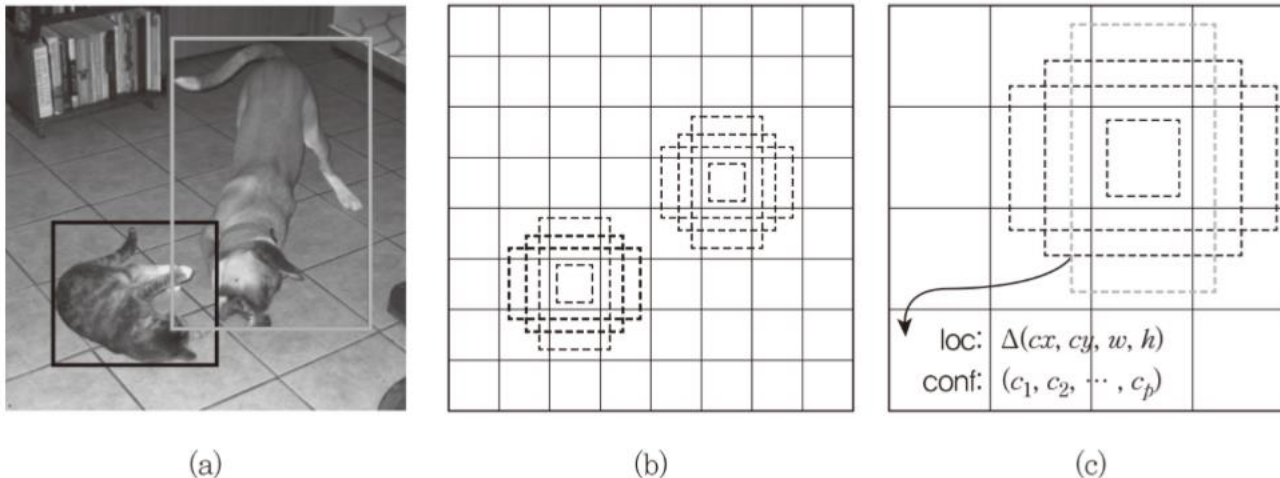


그림 9.44 기준 테두리 상자와 기본 테두리 상자 [출처: Liu 등, 2015]

(a) 객체(고양이, 개)의 위치를 표현한 기준(ground truth) 테두리 상자 (b) 8×8 특징 지도와 각 위치별 4개의 기본(default) 테두리 상자 (c) 4×4 특징지도와 ‘강아지’에 매칭된 기본 테두리 상자에 대한 위치 정보  $\Delta(cx, cy, w, h)$  와 각 부류별 신뢰도  $(c_1, c_2, \dots, c_p)$

그림 9.45 SSD의 구조<sup>[출처: Liu 등, 2015]</sup>

## 7. 의미적 영역 분할

### ❖ 의미적 영역 분할 (semantic segmentation)

- 각 화소가 어떤 부류에 속하는지 결정하는 것
- 영역 분할을 하면서 해당 영역에 있는 객체의 부류도 함께 결정하는 것



(a)



(b)

그림 9.46 의미적 영역 분할 (a) 원본 영상 (b) 객체 영역과 객체 부류

# 의미적 영역 분할

## ❖ FCN(fully convolutional network) 모델

- 의미적 영역 분할을 위한 딥러닝 모델

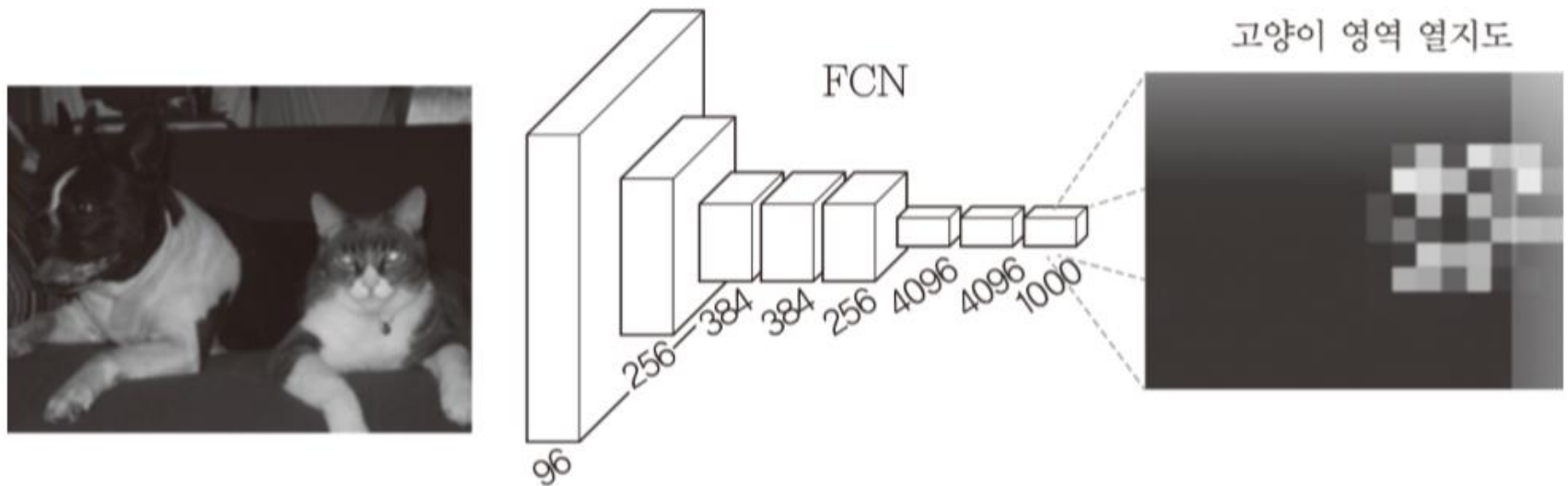


그림 9.47 FCN의 구성 [출처: Long 등 2015]



## 8. 딥러닝 응용

### ❖ 영상 주석달기

- 영상에 주어진다면 영상의 내용을 묘사하는 문장을 만들어 내는 것
- 입력 영상에 대해 **CNN**을 적용하여 **맥락정보**를 추출하고, 이를 초기 정보로 사용하여 **LSTM** 재귀 신경망이 문장 생성

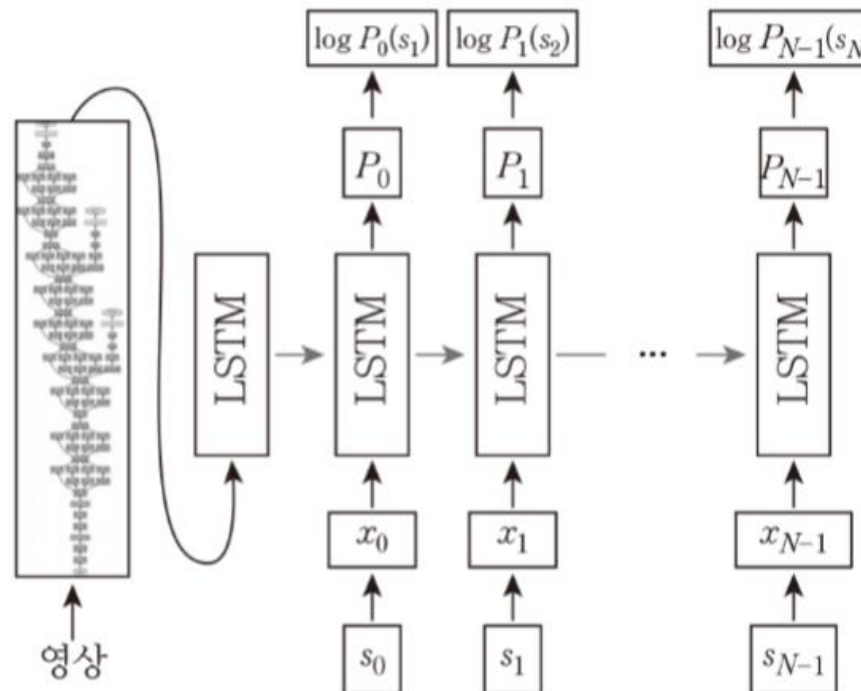


그림 9.50 영상 주석달기 신경망의 구조 [출처: Karpathy 등, 2015]

## 8.1 영상 주석달기

### ❖ 영상 주석달기



A man skiing down a snow covered slope.



A group of giraffe standing next to each other.

그림 9.51 딥러닝에 의한 영상 주석달기의 예

## 8.2 예술작품 화풍 그림 생성

### ❖ 예술작품 화풍 그림 생성

- CNN 모델에 영상을 입력으로 넣어주면, CNN 망의 각 층에서 여러 채널의 특징지도가 생성
- 같은 층에 있는 채널 간의 상관계수가 화풍과 관계가 있다는 성질을 이용
- 화풍의 특징에 대한 유사도와 내용에 대한 유사도를 반영한 손실함수 정의
  - 모델의 가중치를 수정하는 것이라 입력 영상을 수정

# 예술작품 화풍 그림 생성



La muse



변환



그림 9.52 화풍에 따른 사진의 그림 변환

왼편 사진을 피카소 작품 'La Muse' 화풍의 그림으로 변환한 것.